



جمهورية العراق

وزارة التعليم العالي والبحث العلمي

جامعة بابل - كلية العلوم

قسم الفيزياء / المرحلة الرابعة

تأثير التركيز على الخصائص البصرية والتركيبية لبوليمير PVA وتطبيقاته الطبية

مشروع بحث مقدم الى مجلس كلية العلوم _ قسم الفيزياء
جزء من متطلبات نيل درجة البكالوريوس في علم الفيزياء

من قبل الطالبة

سارة سعيد حميد حسن

بأشراف

أ.م.د. صبا عبد الزهرة عبيد

**Ministry of Higher Education
and Scientific Research
University of Babylon
College of Science
physics department
Fourth stage**



Effect of concentration on optical and structural properties of PVA polymer and its medical applications

**A Research Project Submitted to the Council of the College of
Scienc – Department of Physics
As Part of the Requirements for Obtaining a Bachelor's Degree in Physics**

py

Sarah Saeed Hamid Hassan

Supervisor

Asst. Prof. Saba Abdel Zahra Obaid

2024 A.D

1445 A.H

بِسْمِ اللَّهِ الرَّحْمَنِ الرَّحِيمِ

(وَفَوْقَ كُلِّ ذِي عِلْمٍ عَلَيْهِ)

صدق الله العلي العظيم

[سورة يوسف: الآية ٧٦]

اقرار المشرف

أشهد إن إعداد البحث الموسوم بعنوان {تأثير التراكيز على الخصاوص البصرية والخصائص التركيبية XRD لبوليمير PVA وتطبيقاته الطبية } ، من قبل الطالبة (سارة سعيد حميد حسن) قد جرت تحت اشرافي في قسم الفيزياء – كلية العلوم – جامعة بابل كجزء من متطلبات نيل شهادة البكالوريوس في علوم الفيزياء .

التوقيع :-

المشرف :- أ.م.د. صبا عبد الزهرة عبيد

المرتبة العلمية :- استاذ مساعد

التاريخ :- ٢٠٢٤ / /

توصية رئيس قسم الفيزياء

بناءً على التوصيات المتوفرة ارشح هذا البحث للمناقشة

التوقيع :-

اسم رئيس القسم الفيزياء :- د. سميرة عدنان مهدي

المرتبة العلمية :- استاذ مساعد

التاريخ :- ٢٠٢٤ / /

العنوان :- جامعة بابل _ كلية العلوم / قسم الفيزياء

إِنْ شَاءَ

بعد سنين من المشوار الدراسي ما نحن نعاني نهاية المطافه لم يكن الامر سهلاً كان حانها مثلاً

بخطاوه الصعابه والعتراوه الا انها لم تزدنا الا اصراراً

الى من كله الله بالهيبة والوقار

الى من علمني العطاء بدون انتظار

الى من احمل اسمه بكل افتخار ... والدي العزيز

الى ملكي في الحياة

الى معنى الحنان والتغافلي

الى بسمة الحياة وسر الوجود ... والدي الغالية

لم نكن نصل ما وصلنا اليه لو لا دعم احبتنا

شكراً لأساتذتنا ولو لكم ما كننا ما نحن عليه الان

الشَّهْرُ وَالْعِرْفَانُ

لا يسعنا بعد الافتئاء من إحداث هذا الحديث إلا أن أتقنه بجزيل الشكر وعظيم الامتنان إلى استاذتي

المترجمة

الدكتورة صبا عبد الزهرة حبيب

التي تفضلت بالإشراف على هذا البحث، حيث قدمت لي كل النص والارشاد طيلة فترة الامداد

فَلِمَّا مَنَى كُلُّ الشَّهْرِ وَالْتَّقْدِيرِ .

كما لا يفوتنـي أن أتقـمـ بـجزـيلـ الشـكـرـ والـعـرـفـانـ إـلـىـ كـلـ حـكـاـتـهـ

قسم الفيزياء - كلية العلوم - جامعة بابل .

لهم مني كل الشكر والتقدير.

سارة

الخلاصة

تم في هذا البحث تحضير الااغشية للبوليمر PVA وتم تعریض الااغشية الرقيقة الى درجة تسخين القاعدة والتي تصل الى ١٠ واجراء القياسات الفیزیائیة والتي تشمل الخصائص البصریة باستخدام UV جهاز مطیاف الضوء المرئي فوق البنفسجي لدراسة الخصائص البصریة المتمثله بالامتصاصية والنفاذیة وفجوة الطاقة ودراسة الخصائص التركیبیة المتمثلة بحیود الأشعه السینیة (XRD) حيث تم الحصول على نتائج جيدة

Abstract

In this research, films were prepared for the PVA polymer, and the thin films were exposed to a base heating temperature of up to 10, and physical measurements were carried out, including optical properties using a UV-visible light spectrometer to study the optical properties represented by absorbance, transmittance, and energy gap, and to study the structural properties represented by X-ray diffraction (XRD). where good results were obtained

جدول المحتويات

الصفحة	العنوان	ت
		الخلاصة .
الفصل الاول : مقدمة عامة عن البوليمرات		
١	المقدمة .	١-١
٢	أنواع البوليمرات	٢-١
٤	تسمية البوليمرات	٣-١
٥	تركيب البوليمرات	٤-١
٧	الخصائص الفيزيائية والكيميائية للبوليمرات	٥-١
٨	تكوين البوليمرات	٦-١
٩	استخدامات البوليمرات وتطبيقاتها	٧-١
١١	الدراسات السابقة	٨-١
١٤	الهدف من البحث	٩-١
الفصل الثاني : الجزء النظري		
١٥	المقدمة	١-٢
١٥	الخصائص البصرية للبوليمر	٢-٢
١٥	النفادية	١-٢-٢
١٦	الانعكاسية	٢-٢-٢
١٧	الامتصاصية	٣-٢-٢
١٨	حافة الامتصاص	٤-٢-٢
١٨	مناطق الامتصاص	٥-٢-٢
٢٠	انقلالات الالكترونية	٦-٢-٢
٢٢	الثوابت البصرية	٧-٢-٢
٢٣	معامل الامتصاص	٨-٢-٢
٢٣	معامل الانكسار	٩-٢-٢
٢٥	معامل الخمود	١٠-٢-٢
٢٥	ثابت العزل	١١-٢-٢

٢٦	الخصائص التركيبية (Structural properties)	٣-٢
الفصل الثالث		
٢٧	المقدمة	١-٣
٢٧	جهاز امتصاص البصري الذري للموجات فوق البنفسجية (مخطط UV)	٢-٣
٣٧	جهاز الخصائص التركيبية XRD	٣-٣
الفصل الرابع		
٤٢	حيود الاشعة السينية	١-٤
٤٤	الخواص البصرية	٢-٤
٤٤	طيف الامتصاص	١-٢-٤
٤٦	طيف النفاذية	٢-٢-٤
٤٧	معامل الامتصاص	٣-٢-٤
٤٧	فجوة الطاقة المباشرة	٤-٢-٤
٤٩	الاستنتاجات	٣-٤
٥٤-٥٠	المصادر	

الأشكال

رقم الصفحة	العنوان	ت
٥	الشكل (١-١) يوضح تكوين جزيئة البوليمرات [6]	١-١
٨	الشكل (٢-١) يوضح نوع معين من البلمرة الإسهامية تسمى البلمرة التكافعية [9]	٢-١
١٨	شكل (1-2): المناطق المختلفة A,B,C لحافة الامتصاص البصري.[20]	١-٢
٢٢	الشكل (١-٢) يوضح جميع أنواع الانتقالات الالكترونية [24].	١-٢
٢٨	شكل (1-3): تدرج مستويات الطاقة للمسارات الجزيئية المختلفة [27]	١-٣
٣١	شكل(٢-٣) مطياف الأشعة فوق البنفسجية [31]	٢-٣
٣٢	الشكل (3-3) مصباح الهيدروجين او الديوتيريوم [32]	٣-٣
٣٢	الشكل (4-3) مصباح التجستان [32]	٤-٣
٣٣	شكل (٥-٣): المنشور الضوئي Light prism	٥-٣
٣٣	شكل (٦-٣): المحزوز الضوئي Light grating	٦-٣

٣٤	الشكل (7-٣) الخلايا[36]	٧-٣
٣٦	شكل (8-٣): مطياف وحيد الحزمة [38]	٨-٣
٣٧	شكل (٩-٣): مطياف مزدوج الحزمة [39]	٩-٣
٣٩	الشكل (١٠-٣) يوضح قانون براغ [40].	١٠-٣
٤٠	الشكل (١١-٣) يوضح التمثيل التخطيطي لتقنية XDR	١١-٣
٤١	الشكل (١٢-٣) يوضح التمثيل التخطيطي لمبدأ عمل XRD [42]	١٢-٣
٤٢	Fig(1): X-ray diffraction of PVA.	
٤٣	Fig(2): X-ray diffraction of PVA: thin film at 2%	
٤٣	Fig(3): X-ray diffraction of PVA: thin film at 3%.	
٤٥	Fig 4: The effect of doping on absorbance spectrum	
٤٥	Fig 5: The Effect of 350°C on absorbance spectrum	
٤٦	Fig 6: The effect of doping on transmittance spectrum	
٤٧	Fig 7: The effect of doping on absorption coefficient	
٤٨	Fig 8: The effect of doping on the energy gap	

الجدول

رقم الصفحة	العنوان	ت
٣٠	جدول (١-٣) اهم المذيبات المستخدمة في التحليل[30]	
٤٢	Table1: Result of the PVA polymer at 1%.	
٤٣	Table2: Result of the PVA polymer at (1%).	
٤٤	Table3: Result of the PVA polymer at (2%).	
٤٤	Table4: Result of the PVA polymer at (3%).	
٤٥	Table (5) show the effect of doping on absorbance	
٤٦	Table (6) show the effect of annealing on absorbance	
٤٨	Table (7) show the effect of doping on energy gap	



الفصل الاول :

مقدمة عامة عن بوليمر بولي فانييل الكحول (PVA)

١-١ - المقدمة .Introduction

البوليمر أو بلمرة : هو مركب ذو وزن جزيئي مرتفع مكون من وحدات جزئية مكررة. قد تكون هذه المواد عضوية أو غير عضوية أو عضوية معدنية، وقد تكون طبيعية أو اصطناعية في أصلها.

أصبحت البوليمرات تلعب دوراً أساسياً وكلياً في استخدامات الحياة اليومية وذلك بسبب خواصها الفريدة. فهي مواد أساسية في القطاعات الصناعية اليومية، مثل المواد اللاصقة، ومواد البناء ، والورق، والملابس ، والألياف، واللدائن، والسيراميك ، والخرسانة، والبلورات السائلة Liquid crystal والمقاوم الضوئي، ومواد التكسية (coating) [1].

كما أن البوليمرات متواجدة في معظم مكونات التربة ، و النباتات ، والكائنات الحية. وهي مهمة في التغذية ، والهندسة الميكانيكية ، و بنية الكائنات الحية ، والطب، والحواسيب، واستكشاف الفضاء، والصحة، والبيئة ، وتستخدم كلمة بلاستيك أو لدائن استخداماً خطأ للدلالة على البوليمرات، في حين أن البوليمرات تضم أصنافاً ضخمة من المواد التركيبية والطبيعية المتباعدة في الخواص.

تشمل البوليمرات الطبيعية غير العضوية الألماس، والجرافيت، والرمل، والأسبستوس، والعقيق، والصوان، والفلسبار (سيليكات الألومنيوم)، والميكا، والمرو، والتلك. تشمل البوليمرات الطبيعية العضوية عديد السكاريد مثل النشا، والسيليلوز، والحموض الأمينية، والبروتينات. وتشمل البوليمرات التركيبية غير العضوية نترید البورون، والخرسانة، والعديد من الموصلات الفائقة لدرجات الحرارة العالية، والعديد من الزجاجيات. وتمثل مركبات السيلوكسان (Siloxanes) البوليمرات التركيبية العضوية المعدنية[2].

وتوفر البوليمرات التركيبية في استخدام الطاقة الشمسية عند مقارنتها مع المعادن. فخفتها وزنها تقلل من استهلاك الوقود في العربات والطائرات . وهي تفوق معظم المعادن بالنسبة إلى نسبة قوتها إلى وزنها . وقد طورت البوليمرات فامتلكت خواصاً جيدة وأصبحت اقتصادية التصنيع . كما أمكن استخدامها للأغراض الهندسية، فأصبحنا نستخدم المسننات، والمدحرجات، والهيكل المصنعة من البوليمرات.

٢-١. أنواع البوليمرات

يوجد نوعان من البوليمرات؛ البوليمرات الطبيعية (Natural Polymer)، والبوليمرات الاصطناعية (Synthetic Polymer)، وفيما يأتي توضيح لهما [3]:

٢-١-١. البوليمرات الطبيعية

تصنف البوليمرات الطبيعية إلى نوعين وهما: بوليمرات عضوية وغير عضوية، وتؤدي البوليمرات الطبيعية العضوية دوراً مهماً في الكائنات الحية، إذ توفر المواد البنائية الأساسية، وتشترك في العمليات الحيوية، وفيما يأتي مجموعة من الأمثلة عليها:

- ❖ **السليلوز** : يعرّف بأنه مجموعة من المواد المتواجدة في النباتات، وتشكل الأجزاء الصلبة منها، فالسليلوز (Cellulose) هو عديد السكريات (Polysaccharide)، إذ إنه يتكون من جزيئات السكر.
- ❖ **اللجنين والراتنجات** : يعد اللجنين (Lignin) شبكة معقدة ثلاثة الأبعاد من البوليمرات، أما راتنجات الخشب (Various Resins) فهي بوليمرات مكونة من هيدروكربون بسيط وأيزوبرين.
- ❖ **البروتينات والأحماض النووية** : تتكون بوليمرات البروتين (Protein) من الأحماض الأمينية، في حين تتكون الأحماض النووية (Nucleic Acid) من النيوكليوتيدات، وهي جزيئات معقدة تتكون من قواعد تحتوي على النيتروجين والسكريات وحمض الفوسфорيك.
- ❖ **النشويات** : تعد النشويات (Starches) من مصادر الطاقة الغذائية، لأنها بوليمرات طبيعية تتكون من الجلوكوز.

يوجد بعض الأمثلة على البوليمرات غير العضوية في الطبيعة مثل؛ الألماس والجرافيت، اللذان يتكونان من الكربون، إذ ترتبط ذرات الكربون مكونة شبكة ثلاثة الأبعاد في الألماس؛ مما يمنحه خاصية الصلاحة، كما يستخدم الجرافيت في عملية التشحيم وصنع أقلام الرصاص [4].

بولي فاينيل الكحول (PVA)

وهو بوليمر صناعي عديم الرائحة وقابل للذوبان في الماء يصنع من خلات الفاينيل الأحادية (Vinyl Acetate Monomer) بواسطة اخضاعها بالبلمرة والتحلل الجزئي عن طريق اذابته في الماء، والسماح للماء بالتبخر ليكون غشاء شفاف ذو لدائن عالية ومقاوم للتمزق، وان ذوبانية البوليمر تعتمد على درجة التحلل الجزئي وقابلية الاصرة الهيدروجينية [٤]، ويقسم بوليمر PVA المتوفّر تجاريًا إلى نوعين هما البولي فاينيل الكحول التام التحلل بالماء (Fully Hydrolyzed PVA) والبولي فاينيل الكحول الذي يتحلل جزئياً بالماء (Partially Hydrolyzed PVA) بالإعتماد على عدد مجاميع الخلات Acetate Groups في العمود الفقري للبوليمر أن الاستقرارية الكيميائية للبوليمر (PVA) في درجات الحرارة الاعتيادية مع امتلاكه خصائص فيزيائية وكيميائية ممتازة أدت إلى استخدامه في التطبيقات العملية بشكل واسع في الطب ومواد التجميل والأغذية والصناعات الصيدلانية والتغليف. كما يستخدم بوليمر (PVA) بشكل اساسي في منتجات الألياف والافلام مثل الطلاءات الورقية (١.٣١-١.٣٢). إذ (45,46 g/cm³) يمتلك ميزة التصاق عالية وكثافته تتراوح [Paper Coating] (إن كميات بوليمر (PVA) الكبيرة تكون خطيرة وخصوصاً عند مزجها مع الماء، ويكون غير سام ما دام غير محروق بدرجات الحرارة العالية [٤].

٢-٢- البوليمرات الاصطناعية

تُنتج البوليمرات الاصطناعية من خلال أنواع متعددة من التفاعلات الكيميائية، ومن أهم الأمثلة عليها ما يأتي [4]:

- **البولي إيثيلين (Polyethylene)** : يتصف بأنه بلوري، وشفاف، ولدن (أي يصبح أملساً عند تعرضه لدرجة الحرارة)، كما أنه يستخدم في الدهان وتصنيع الزجاج والحاويات.
- **البولي بروبيلين (Polypropylene)** : يُعرف بأنه مادة بلورية لدنة، حيث تستخدم في صناعة النسيج.
- **بولي بوتادين، وبولي إيزوبرين، وبولي كلوروبرين** : تُستخدم كلّ من مادة بولي بوتادين وبولي إيزوبرين (Polyisoprene)، وبولي كلوروبرين (Polybutadiene) في صناعة المطاط.

- البوليسترين (Polystyrene) : يتصف بكونه مادة زجاجية وشفافة ولدنة، كما أنها تستخدم في صناعة الألعاب، والمجسمات البلاستيكية.
- بولي فينيل كلوريد (Polyvinyl Chloride) : يعد من البوليمرات الاصطناعية، وهي مادة صلبة لأن لون لها، كما أنها لدنة وقابلة للتشكيل، حيث تستخدم كمادة لاصقة، وفي أعمال الدهان.

٣-١. تسمية البوليمرات

مشتق اسم البوليمر من اسم المونومر الذي يدخل في تركيبه ، وفي مثال على ذلك يسمى بولي إيثين (Poly Ethene) نتيجة تكوّنه من مونومر إيثين (Ethene) ، وفيما يأتي توضيح لكيفية تسمية البوليمرات [5]:

١-٣-١. تسمية المونومر

يبدأ بتسمية المركب الكيميائي الأساسي (المونومر) عن طريق حساب عدد ذرات الكربون ؛ مثلاً يبدأ اسم المركب الذي يحوي ذرة كربون واحدة بـ(ميث) والذي يحوي ذرتين بـ(إيث)، ثم تحديد أنواع الروابط؛ أحادية أم ثنائية وهكذا، والمجموعات الوظيفية المتواجدة وأعدادها كالكحول والكيتونات وغيرها[5].

٢-٣-١. تسمية البوليمر

تُوضع كلمة (Poly) ثم يفتح قوسين لوضع اسم المونومر بداخلهما، وذلك في حال كان البوليمر يحتوي على مونومر واحد مثل (Poly Methyl Methacrylate) ، وإذا كان المونومر كلمة واحدة يحذف كل من القوسين مثل؛ Polystyrene .

تتكون البولимерات المشتركة من أكثر من مونومر، فتسمى باستخدام بعض المحددات التي تكتب بالخط المائل التي تشير إلى البوليمر المكون من مونومرات موزعة عشوائياً، بحيث توضع هذه المحددات في بداية التسمية أو بين أسماء المونومرات مثل: (cyclo-polystyrene-graft-polyethylene).

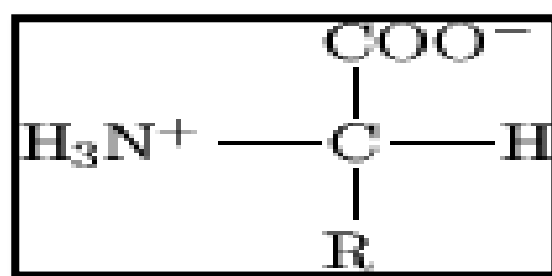
٤-٣-١ . التسمية القائمة على الهيكل

يمكن تسمية البولимерات وفقاً لهيكلها بدلاً من المونومرات المكونة لها، تحديداً حسب وحدة التكرار (الوحدة الفرعية الهيكلية) التي يحصل عليها بتجزئة بنية البوليمر إلى أصغر وحدة تكرار ممكنة مثل: .bromoethane-1,2-diyl-

٤-١ . تركيب البولимерات

ت تكون البولимерات من بنى تتمثل في وحدات بنائية متطابقة متكررة. وهذه الوحدات بدورها تتكون من جزيئات أصغر تسمى المونومرات . تتفاعل المواحد مع بعضها لتشكل البوليمر. يوضح الشكل الجانبي موحد البروبيلين والوحدة المتكررة التي تشكل عديد البروبيلين[6].

وباستثناء المجموعة الطرفية في سلسلة عديد البروبيلين، فإنها تتكون كاملاً من هذه الوحدة المتكررة. ويسمى عدد هذه الوحدات (n) في سلسلة البوليمر بدرجة البلمرة أو DP. والبوليمرات الأخرى، مثل البروتينات، يمكن وصفها بكتابة الوحدة المتكررة التقريرية كما في الشكل التالي.



الشكل (١-١) يوضح تكوين جزيئة البولимерات[6]

حيث تكون طبيعة R متغيرة (يستعاض عنها بذرة أو مجموعة من الذرات).

وتأثير التغيرات التي تحدث في المونومرات على خواص البولимер مثل المرونة، وقابلية الذوبان، أو قوة شد البولимер. ويمكن لهذه التغيرات في البروتينات أن تجعل للبولимер القدرة على أن يكون له التركيب المناسب، بدلاً من حدوث لف عشوائي "Random Coil" له. ومع أن معظم البوليمرات عضوية (أي أنها مكونة من سلسلة كربونية)، فإنه يوجد أيضاً بوليمرات غير عضوية، غالباً ما تكون سلاسلها مبنية على أصل من السيليكون. ويغطي مصطلح بولимер مدى واسع من الجزيئات، متضمناً أيضاً بعض المواد مثل البروتينات والخيوط التي لها قوة شد عالية مثل خيوط كيفلر. والأساس في التفرق بين البوليمرات والجزئيات الأخرى الكبيرة هو وجود الوحدات المتكررة (المونومرات) في سلاسل البولимер. ويحدث هذا في عملية البلمرة، والتي ترتبط فيها الموحد مع انتكوس سلسلة طويلة من البولимер. فمثلاً، عملية تكون البولي إثيلين "Polyethylene or Polyethene" تتضمن تشابك آلاف الوحدات من جزيئات الإثنين مع انتكوس سلسلة لها الوحدة المتكررة . ويكون البولимер بولي إثيلين (Polyethylene) وفقاً للمعادلة الآتية : - $C_4H_8 \rightarrow C_2H_4 + C_2H_4$. غالباً ما تسمى البوليمرات على اسم المونومرات المكونة للبولимер [7].

ولأن التفرق بين البوليمرات يكون غالباً بالموحد المكونة لها، فإن سلاسل البوليمرات في أي مادة لا يكون لها نفس الطول. وهذا يعكس الجزيئات الأخرى التي تكون من عدد معين من الذرات، ويكون لكل جزيء وزن جزيئي محدد. وتختلف أطوال سلاسل البوليمرات لأن السلاسل تنتهي بطريقة عشوائية أثناء تطور عملية البلمرة.

البروتينات ما هي إلا حمض أميني في شكل بولимер. ومن ستة إلى عدة مئات تقريرياً من أشكال المونومرات التي تكون السلسلة، فإن التتابع الذي يتكون به البروتين يحدد خواصه ونشاطه. ولكن يوجد في هذه البروتينات ما يسمى مناطق نشطة، والتي تكون محاطة بما يعتقد بأنه مناطق تركيبية، والتي يكون دورها الأساسي هو إظهار هذه المنطقة (المناطق النشطة) . وعلى ذلك فإن التتابع الأصلي للحمض الأميني ليس له أهمية كبيرة، طالما أن هذه المناطق النشطة يمكن الوصول إليها بفاعلية. وحيث أن تكون البولي إثيلين يحدث بطريقة عشوائية، فإن من يقوم بتصنيع البروتينات الحيوية والحموض النووي يجب أن يكون لديهم عامل حفز (مادة تقوم بتسهيل أو تعجيل التفاعل). ومنذ الخمسينيات من القرن العشرين، كان للعوامل الحفازة دور كبير في تصنيع البوليمرات. وبوجود مزيد من التحكم في تفاعلات البلمرة، فقد صنعت بوليمرات ذات خصائص فريدة، مثل القدرة على إصدار ضوء ملون[7].

واللحصول على خصائص جيدة للمبلمر فإنه لابد من ضبط عدة عوامل. وهذا لأن البولимер يتكون في الحقيقة من توزيعات من السلسل بأطوال مختلفة، وكل سلسلة تتكون من حصيلة المونومرات التي تؤثر على خواص البولимер. وبعض هذه العوامل مشرورة بالأصل.

١-٥- الخصائص الفيزيائية والكيميائية للبوليمرات

تتميز البوليمرات بمجموعة من الخصائص الفيزيائية والكيميائية، والتي تتضح فيما يأتي [8]:

١-٥-١- الخصائص الفيزيائية للبوليمرات :

من أهمّ الخصائص الفيزيائية للبوليمرات ما يأتي:

- ١) تتمتع بقوة شد كبيرة؛ بسبب ازدياد طول السلسلة.
- ٢) غير قابلة للذوبان، إذ إنّها تتحول من الحالة البلورية إلى شبه بلورية.
- ٣) غير موصلة للحرارة، وهي قابلة للتمدد الحراري بكميات واتجاهات مختلفة.

١-٥-٢- الخصائص الكيميائية للبوليمرات :

من أهمّ الخصائص الكيميائية للبوليمرات ما يأتي:

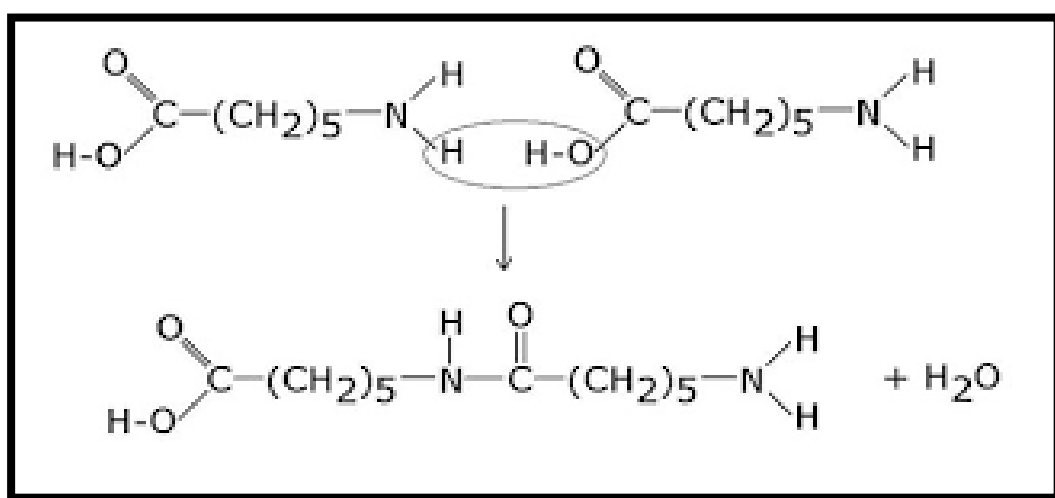
- ١) تتميز بقوة ربط عرضي؛ نتيجة الترابط الهيدروجيني والأيوني .
- ٢) تتميز بمرونة عالية؛ بسبب الرابطة ثنائية القطب الناتجة عن السلسل الجانبية.
- ٣) تمتلك درجة انصهار منخفضة؛ بسبب السلسل التي تربط بقوى فان دير فالس الضعيفة.
- ٤) تتميز بمعدل نفاذية منخفض جداً.

٦-١ تكوين البوليمرات

٦-١-١ البلمرة الإسهامية

البلمرة الإسهامية هي بلمرة بنوعين أو أكثر من المونومرات . ومثال لذلك مواحدات الأحماض الأمينية التي ذكرت من قبل، والتي تتكون منها البروتينات. البلمرة الإسهامية لمونومرات مختلفة ينتج عنها بوليمرات بخواص مختلفة. فمثلاً، البلمرة الإسهامية لاثنين بكميات قليلة من الهيكسين hex-1-ene هي طريقة لإنتاج بولي إثيلين خطي قليل الكثافة (Linear Low Density Polyethylene LLDPE) " اقرأ " بولي إثيلين C4 التي تنتج من الهيكسين تقلل الكثافة وتمكن تكون مناطق متبلورة في البوليمر كما يحدث في البولي إثيلين عالي الكثافة (HDPE). وهذا يعني أن (LLDPE) يمكن أن يتحمل قوى الشد مع بقائها مرنة [8].

والشكل القادم يوضح نوع معين من البلمرة الإسهامية تسمى البلمرة التكافيفية. وفي هذا النوع بالتحديد يطلق جزيء صغير أثناء البلمرة. في شكل التفاعل الآتي يطلق جزيء الماء ويكون النايلون. ويمكن التحكم بنوع النايلون (اسمه وخواصه) بمجموعتي R، R' المستخدمة.



الشكل (٢-١) يوضح نوع معين من البلمرة الإسهامية تسمى البلمرة التكافيفية [9]

٧-١- استخدامات البوليمرات وتطبيقاتها

تُستخدم البوليمرات في عدة مجالات مثل الصناعة، والطب، والزراعة، والتطبيقات الهندسية، والتطبيقات الطبية الحيوية، ويمكن توضيح ذلك فيما يأتي:

٧-١-١- استخدامات البوليمرات في الصناعة

تُستخدم أنواع عدّة من البوليمرات في الصناعة، وفيما يأتي توضيح لها:

- **البولي بروبين :** يُستخدم في صناعة المنسوجات، وأدوات التعبئة والتغليف والقرطاسية والحبال والألعاب، أيضًا يستخدم في صناعة البلاستيك وهياكل الطائرات، وفي عملية البناء.
- **البوليسترين :** يُستخدم في صناعة أدوات التعبئة والتغليف، والعبوات الزجاجية، والألعاب، كما يدخل أيضًا في صناعة الحاويات، والنظارات، والخزائن، والأغطية، بالإضافة إلى الأدوات المنزليّة التي تستخدم لمرة واحدة، كما أنه يستخدم في عملية العزل.
- **الباكليت :** يُستخدم في صناعة المفاتيح الكهربائية، والمواد العازلة، والأسلحة النارية، وأدوات المطبخ مثل الأكواب ودلال القهوة، كما يستخدم أيضًا في تصنيع الألعاب، والمجوهرات، وأقراص الكمبيوتر.
- **بولي فينيل كلوريد :** يدخل في صناعة الأنابيب المستخدمة في شبكات الصرف الصحي، كما يعد عازلًا كهربائيًّا، إذ إنّه يستخدم في صنع الكابلات الكهربائية.
- **كلوريد البوليفينيل :** يُستخدم في صناعة الملابس والأثاث، ويدخل أيضًا في صناعة أرضيات الفينيل، وفي صناعة الأبواب والنوافذ.
- **راتنجات اليوريكا فورمالدهايد :** يدخل في صناعة القوالب، والحاويات غير القابلة للكسر، والمواد اللاصقة، والألواح المصفحة، والقوالب.
- **جليبتال :** يُستخدم في صناعة أنواع مختلفة من الدهانات.

٧-٢- استخدامات البوليمرات في الطب

يُوجد عدّة استخدامات للبوليمرات في المجال الطبي، وهي كما يأتي [9]:

- ❖ تُستخدم في أجهزة توصيل الأدوية (نظام تقديم الدواء)، والدعامات الوعائية، والخيوط الجراحية، والأجهزة المساعدة في التخلص من الجلطات.
- ❖ تدخل في علاج تمدد الأوعية الدموية، وانسداد القناة الشريانية، وتقويم الأسنان.

- ❖ تُستخدم في غسيل الكل.
- ❖ تُستخدم في تثبيت العظام وإصلاح الأربطة والأوتار.
- ❖ تساعد على تحفيز صناعة الدواء وتجريبيه، بسبب استجابتها للمثيرات الخارجية للجسم مثل؛ الإجهاد الميكانيكي، الكهرباء، التغير في درجة الحرارة.
- ❖ تُستخدم في الجراحة التجميلية مثل؛ تكبير محيط الجمجمة والوجه.
- ❖ تُعمل كبديل للنواة اللبية.

تُستخدم البوليمرات في صناعة المواد الطبية الحيوية، مثل:

- ١) صمام القلب، والأوعية الدموية التي تصنع من الداكون، والتفلون، والبولي يوريثين.
- ٢) صناعة خيوط الجراحة، والزرعات.
- ٣) صناعة عدسات العين، وأجهزة تصريف مياه العين الزرقاء.

٣-٧-٣- استخدامات البوليمرات في الزراعة

- ١) تُستخدم البوليمرات في الزراعة كما يأتي:
- ٢) إنتاج المياه بدون ترك أثر سلبي على الموارد الطبيعية.
- ٣) زيادة جودة المبيدات الحشرية، وتحسين كفاءة المبيدات العشبية.
- ٤) توفير التهوية والتغطية عند إضافتها للتربة، وتحسين نمو النباتات وصحتها.
- ٥) إزالة الأيونات المعدنية من التربة والماء.

٤-٧-١- استخدامات البوليمرات في التطبيقات الهندسية

تُستخدم البوليمرات في عدة تطبيقات هندسية، مثل[10]:

- البناء والنقل والإلكترونيات.
- المعالجة الكيميائية، فتعد البوليمرات مواد بديلة عن المعادن المختلفة والسبائك.
- هندسة الإلكترونيات والآلات الصناعية.

١-٨- الدراسات السابقة

يتضمن هذا الجزء مراجعة شاملة وواسعة لمدى واسع من البحوث والدراسات التي تم إنجازها في مجال بحثنا ومن أبرز هذه الدراسات :

❖ قام الباحث (Abdelrazek et al) عام (٢٠١٠) بتحضير دراسة بعض الخواص التركيبية والبصرية والحرارية والكهربائية للخليط البولمرى (PVA/ VP) المدعم بروميد الليثيوم (LiBr) (٢٠ and ١٠ and ٥ ، ٥ ، ٢٥ ، ٠) أجريت قياسات الامتصاص البصري بتراكيز مختلفة ضمن مدى الأطوال الموجية (٥٠٠ - ٢٠٠ nm)، وبينت النتائج زيادة الامتصاصية بزيادة التدعيم ب LiBr للمتراكبات البوليمرية، ولقد وجد أن الامتصاص البصري ناتج عن الانتقالات المباشرة وغير المباشرة، وان قيمة فجوة الطاقة تتغير مع زيادة تركيز LiBr وكافة الانتقالات واظهرت النتائج تحسن القياس الحراري بزيادة التدعيم ب LiBr للمتراكبات البوليمرية، وهذا يشير إلى أن المادة المدعمة تعمل كمادة ملدننة. يكون ارتفاع الموصلية ملحوظاً مع زيادة تركيز LiBr، وهذا يعني انخفاض درجة التبلور وزيادة درجة البلورية، وهذا يشير إلى اختيار LiBr كمواد مدعمة لتحسين التوصيل الكهربائي (PVA/PVP) [11] .

❖ قام الباحث (Rajeswari et al) عام (٢٠١٣) بتحضير دراسة بعض الخواص التركيبية والكهربائية والحرارية والبصرية للمتراكبات البوليمرية حيث حضرت الأغشية بطريقة الصب وبتراكيز مختلفة (٣٥ , ٣٠ , ٢٠ , ١٥ , ٥) من $\text{CH}_3\text{COONH}_4$ تم دراسة الخواص التركيبية باستخدام حيود الاشعة السينية (XRD) وبينت وجود تركيب (PVP-PVA) غير البلوري اظهرت النتائج الحرارية الى أن جميع مكونات الخليط قابلة للاختلاط وأن درجة الانتقال الزجاجي (T) تقل مع زيادة تركيز الملح بينت النتائج الكهربائية الى تحسن التوصيلية الكهربائية المتداولة المستمرة بزيادة تركيز ملح $\text{CH}_3\text{COONH}_4$ [11].

❖ قام الباحثان (Abed and Habeeb) سنة (٢٠١٣) باستخدام طريقة الصب لتحضير المتراكبات البوليمرية وذلك من خلال إضافة كلوريد الكروم إلى البولي كحول فينيل وبولي فينيل بيروليدون بنسب وزنية مختلفة (٩ , ٦ , ٣) (PVA-PVP-CrCl₂). تمت دراسة الخواص

الكهربائية للتيار المستمر بدرجة حرارة (٥٠-٩٠) درجة مئوية، كما تم دراسة الخواص الكهربائية للتيار المتناوب ضمن المدى ($100\text{-}5\text{ Hz}^6$) عند درجة حرارة الغرفة. أظهرت النتائج أن الموصلية الكهربائية للتيار المستمر تزداد مع زيادة تركيز الملح، كما تتغير طاقة التنشيط بزيادة تركيز الملح، فضلاً عن ان ثابت العزل وقد العزل الكهربائي يتلاقصان مع زيادة التردد ولكن الموصلية الكهربائية للتيار المتناوب تزداد مع زيادة التردد بشكل عام يزداد ثابت العزل وقد العزل وتوصيلية التيار المتناوب مع زيادة تركيز الملح لجميع العينات [12].

❖ قام الباحث (Patil et al) عام (٢٠١٤) بتحضير الخليط البوليمرى [PVA : PVP] المدعى بملح كلوريد الكوبالت بنسب وزنية (42-0 wt%) باستخدام طريقة صب المحلول. وقد تم دراسة كل من الخصائص البصرية باستخدام التحليل الطيفي (UV-Visible) والخصائص التركيبية المتمثلة بـ (XRD) والخصائص الحرارية والكهربائية، اذ تم الحصول على اغشية شبه بلورية بمتوسط حجم بلوري صغير. وتقل فجوة الطاقة البصرية للانتقال غير المباشر المسموح من (4, 6 eV) عند النسبة الوزنية (1.5 wt%) الى (1.5 eV) عند النسبة الوزنية (35 wt%). وكما لوحظ ان طاقة التنشيط التي تم الحصول عليها تقل من (4) عند النسبة الوزنية (1.5 wt%) الى (3.1) عند النسبة الوزنية (1.9 wt%) [13].

❖ قام الباحث (Baraker et al) عام (٢٠١٥) بتحضير المتراكبات البوليمرية (PVA-PVP-CdCl₂) بنسب وزنية (1-40 wt%) من كلوريد الكادميوم (CdCl₂) باستخدام تقنية صب المحلول تم اجراء الفحوصات البصرية (UV-Vis) والحرارية (DSC) والكهربائية (D.C) على جميع العينات. تم التحليل الكمي للأطياف المرئية للحصول على المعلومات البصرية، واظهرت النتائج تداخل في نطاقات الامتصاص قبل حافة الامتصاص بسبب تكوين نطاقات الطاقة في فجوة الطاقة الممنوعة لـ (PVA-PVP) عند التدعيم بـ CdCl₂. بين الفحص الحراري دليلاً على إزالة السلسلة عند المستويات المدعمة بـ CaCl₂ والتي تتجاوز (8 wt%) تم تحديد طاقة التنشيط من القياسات الكهربائية [13].

❖ قام الباحث (Hemalatha et al) عام (٢٠١٥) بتحضير ودراسة الخليط البوليمرى (PVA-PVP) المدعى بكبريتات النحاس (CuSO₄) والمحضر بطريقة صب المحلول تمت دراسة خصائصه باستخدام حيود الاشعة السينية (XRD) ، وتمت دراسة طيف الامتصاصية للأشعة المرئية فوق

البنفسجية (UV-Vis) ودراسة قياس موصلية التيار المتناوب اظهرت أنماطاً (XRD) لهذه المتراكبات البوليميرية في درجة حرارة الغرفة الزيادة غير البلورية للمصفوفة مع زيادة تركيز CuSO_4 من خلال دراسة طيف النفاذية باستخدام (UV-Vis) تم حساب فجوة الطاقة البصرية الموجودة في العينات. وضحت موصلية التيار المتناوب المقاسة تغير الموصلية في المتراكبات البوليميرية مع وجود كميات مختلفة من CuSO_4 [14].

❖ قام الباحثان (Baraker and Lobo) عام (٢٠١٧) بتحضير ودراسة الخصائص الكهربائية للخلط البوليميري (PVA PVP) المدعم بملح كلوريد الكادميوم (CaC_2) بنسبة وزنية مختلفة (٤٠-٥٠%) والمحضر بطريقة صب محلول تضمنت الخصائص الكهربائية قياس التيار الكهربائي المباشر (D.C) المعتمد على درجة الحرارة، وتم تحليل البيانات الكهربائية (C) باستخدام في نطاق درجات الحرارة المتفاوتة (VRH) . Variable Range Hopping (VRH).

❖ قام الباحث (Basha et al) عام (٢٠١٨) بدمج الجسيمات النانوية من أكسيد الجرافين (GO) في الخليط البوليميري (PVA/PVP) لتحضير المتراكبات البوليميرية بتقنية صب محلول. تم إجراء فحوصات XRD و DSC و SEM و UV-visible and SEM على الأغشية النانوية المحضرة. كشف (XRD) عن الطبيعة غير المتبلورة للمتراكبات البوليميرية. تم تحليل الأغشية النانوية بواسطة (SEM) كشف (DSC) عن السمات المورفولوجية ودرجة خشونة العينات تم قياس الموصلية ووجد أنها تبلغ (٦.١٣١٠) لعينات المتراكبات البوليميرية المحضرة في درجة حرارة الغرفة، وتم حساب معلمات الخلية مثل كثافة الطاقة وكثافة التيار [15].

❖ قام الباحث (Vanitha et al) عام (٢٠١٨) بدراسة الخصائص التركيبية والمورفولوجية للخلط البوليميري (PVA-PVP) المدعم بكلوريد الكالسيوم (CaCl) والمحضر بطريقة صب محلول. تمت دراسة حيود الأشعة السينية (XRD) وتحويل فورييه الطيفي للأشعة تحت الحمراء (FT-IR). أكدت دراسات (XRD) و (FT-IR) التكوين المعقد للخلط البوليميري. تم حساب الموصلية الكهربائية باستخدام محل المقاومة ضمن نطاق التردد (١٤٢) وفي نطاق (٤٠١٧٠٤ ، $10 \times 10 \text{ S.cm}^{-1}$) لوحظ أن أعلى قيمة للموصلية الكهربائية k (درجة الحرارة عند النسبة (١٥١) لكلوريد (303

الكالسيوم عند درجة حرارة الغرفة، وتزداد الموصلية الكهربائية مع زيادة تركيز كلوريد الكالسيوم وكذلك درجة الحرارة تمت دراسة السماحية الكهربائية للمتراكمات البوليميرية لدرجات حرارة مختلفة.

❖ درس الباحثان (Veena and Lobo) عام (٢٠١٨) الخصائص الحرارية للخلط البوليميри [PVA PVP] بنسبة [١:١] المحضر بطريقة الصب والمدعم بمادة KMnO بنسب وزنية مختلفة (٣.٤، ١، ٣٠٠١٢، ٠.٣، ٠.٠٠١٢)، أظهرت نتائج الفحص الحراري باستخدام تقنية المسعر الحراري التفاضلي (DSC)، أن درجة الانتقال الزجاجي (T) تزداد بزيادة نسبة التدعيم بـ KMnO وأن درجة التفكك تزداد بزيادة مستوى التدعيم والسبب في ذلك تشكل تعقيدات مختلفة بواسطة تفاعل مع الخليط البوليميри [16].

❖ قام الباحث (Abdelrazek et al) عام (٢٠١٩) بتحضير المتراكمات البوليميرية (PVA-PVP-MWCNTS) بطريقة الترسيب بالتبخير الحراري (CVD). اذ تمت دراسة الموصلية الكهربائية والخصائص العزلية ضمن نطاق التردد (١٠١ - ١٠٧) في درجات حرارة مختلفة. وجدت ان الموصلية الكهربائية تتحسن لتصل الى اقصى قيمة لها عند النسبة الوزنية للمادة المدعمة (٣) ولكن وجد انها قد انخفضت عند النسبة الوزنية (٤٠-١) wt% تم تحليل البيانات التجريبية العازلة باستخدام أشكال مقاومة (٢) المعقدة والمعامل الكهربائي المعقد (M)، مما مكن من تحديد الدائرة الكهربائية المكافئة للعينة. قيم طاقة التشغيل التي تم الحصول عليها من توصيل التيار المستمر والمقاومة قريبة وتأكد أن آلية التنقل مهيمنة أيضا [17].

٩-١. الهدف من البحث

١. التعرف على اهم الجوانب التطبيقية الطبية لبوليمير PVA
٢. دراسة الخصائص البصرية وتأثيرها على البوليمير PVA والمتمثلة بفجوة الطاقة والامتصاصية والنفاذية والانعكاسية .
٣. دراسة الخصائص التركيبية المتمثلة ب (XRD) ، ومعرفة الحجم الحبيبي وكثافة الانخلاءات والنظام البلوري .

**الفصل الثاني :
الجانب النظري**

١-٢ . المقدمة

في هذا الفصل تطرقنا لدراسة الخصائص البصرية والتركيبة لبوليمير PVA والى مبدأ عمل الأشعة والمكونات الرئيسية لجهاز XRD .

٢-٢ . الخصائص البصرية للبوليمير

تعد دراسة الخصائص البصرية للبوليمرات مهمة لمعرفة الانتقالات الإلكترونية بين حزم الطاقة بسبب امتصاص الإلكترونات للشعاع الضوئي الساقط عليها في منطقة الامتصاص الأساسية . إن معرفة الخصائص البصرية كأطياف الامتصاص والنفاذية والانعكاسية وفجوة الطاقة تعطينا معلومات مهمة حول طبيعة المادة وأنواع الانتقالات الإلكترونية وحزم الطاقة ونوع المادة من خلال معرفة قيمة فجوة الطاقة . تدرس الخصائص البصرية من خلال قيم الثوابت البصرية ومعامل الخmod (K) ومعامل الانكسار (n) والانعكاسية (R) والامتصاصية (A) والنفاذية (T) حيث أن هذه الخصائص تتغير من مادة إلى أخرى تبعاً لظروف التحضير ونوع المادة وسمكها والتركيب البلوري لها . إن معرفة الخصائص البصرية مهم جداً في دراسة وتطوير النبات الإلكتروني المختلفة [18] .

٢-١-٢ . النفاذية : Transmittance (T)

تعرف النفاذية للوسط (T-Transmittance) على أنها " النسبة المئوية لشدة الضوء النافذ (I) إلى شدة الضوء الساقط I_0 "، أو أنها " طاقة الإشعاع النافذ من الوسط إلى طاقة الإشعاع الساقط عليه " أي :

$$T = (I/I_0) \dots \dots \dots \dots \quad (1 - 2)$$

واستنادا إلى قانون بير-لامبرت فإن النفاذية تتناقص كلما زاد التركيز المولاري وطول المسار البصري (L) الذي يمر خلاله الضوء .

أما نفاذية الوسط ترتبط بامتصاصية محلول (A) بالعلاقة الآتية :

$$A = -\log(T) = -\log(I/I_0) = \log(I_0/I) \dots \dots \dots \dots \quad (2 - 2)$$

ومن هذه العلاقة نلاحظ إن النفاذية (T) تزداد كلما قلت امتصاصية الوسط (A) .

تعتمد النفاذية على عوامل عده وهي [18]:

- ١- سماك الغشاء : حيث تتناسب النفاذية عكسيًا مع السمك فكلما زاد السمك تقل النفاذية.
- ٢- نسبة التشوييب : بزيادة عدد المستويات الموضعية ما بين حزمة التوصيل والتكافؤ بزيادة نسبة التشوييب وذلك يؤدي إلى نقصان النفاذية وزيادة الامتصاصية.
- ٣- درجة حرارة القاعدة : عند زيادة درجة حرارة القاعدة فإن طيف النفاذية يزاح نحو الأطوال الموجية الطويلة.

٢-٢-٢- الانعكاسية : Reflectance

الانعكاس في الضوء هو ارتداد الضوء الساقط على سطح يفصل بين وسطين مختلفين في الكثافة الضوئية، وتعرف الانعكاسية بأنها الطاقة للضوء المنعكس، كما في المعادلة (3-2) :

$$R = \left(\frac{n-1}{n+1} \right)^2 \dots \dots \dots \quad (3-2)$$

وتعرف الانعكاسية النوعية R_s (Specific Refraction) بأنها نسبة طاقة الضوء المنعكسة إلى طاقة الضوء الساقطة. وتعطى بالعلاقة (4-2) :

$$R_s = \frac{1}{\rho} \left[\frac{n^2 - 1}{n^2 + 2} \right] \dots \dots \dots \quad (4-2)$$

وتسمى العلاقة التي تربط الكثافة (ρ) والوزن الجزيئي (M) بالانعكاسية المولارية (Molar Reflection) وتعرف على أنها حاصل ضرب الانعكاسية النوعية في الوزن الجزيئي. حسب العلاقة (5-2) .

$$R_m = \left[\frac{n^2 - 1}{n^2 + 2} \right] \cdot \frac{M}{\rho} \dots \dots \dots \quad (5-2)$$

٣-٢-٢ - الامتصاصية : (A')

هي نسبة تناقص فيض طاقة الشعاع الساقط الى وحدة المسافة باتجاه انتشار الموجة في الوسط الممتص .
العلاقة بين النفاذية (T) والامتصاصية (A') تعطى بالمعادلة الآتية [19]:

$$A' = -\log T = -\log(I_T / I_0) \dots \dots \dots \dots \dots \dots \quad (6-2)$$

ومن قانون لامبرت :

$$\ln \frac{I_0}{I_T} = at \dots \dots \dots \dots \dots \dots \quad (7-2)$$

إذ أن:

α : معامل الامتصاص بوحدات cm^{-1}

t : السمك بوحدات nm

ومعامل الامتصاص يمكن ايجاده كدالة للنفاذية كما في العلاقة الآتية :

$$a = \frac{1}{t} \ln \frac{I_0}{I_t} \dots \dots \dots \dots \dots \dots \quad (8-2)$$

ومن خلال الامتصاصية (A) نستطيع حساب معامل الامتصاص (α) إذ أن الامتصاصية هي النسبة (I_A/I_0) ويعطي معامل الامتصاص كما في العلاقة الآتية :

$$\alpha = 2.303 \frac{A_o}{t} \dots \dots \dots \dots \dots \dots \quad (9-2)$$

يعتمد معامل الامتصاص على خواص شبه الموصل وعلى طاقة الفوتون ($h\nu$), كما أن تحديد قيمة معامل الامتصاص يعطي معلومات حول طبيعة الانتقالات الالكترونية ففي الانتقالات المباشرة يكون معامل الامتصاص ($\alpha < 10^4 \text{ cm}^{-1}$) أما في الانتقالات غير المباشرة فيكون ($\alpha > 10^4 \text{ cm}^{-1}$).

٤-٢-٤ - حافة الامتصاص : Absorption Edge

عندما تكون طاقة الشعاع الممتص مساوية تقربياً لفجوة الطاقة تحصل زيادة سريعة في الامتصاص وهذا ما يعرف بحافة الامتصاص الأساسية ،أو بعبارة أخرى هي العملية التي تحدث عندما تكون طاقة الفوتون الساقط كافية لانتقال الالكترونات من نطاق التكافؤ الى نطاق التوصيل .إذا فهـي تمثل الفرق بين أعلى نقطة في نطاق التكافؤ وأوسع نقطة في نطاق التوصيل .وهـناك أنواع أخرى للامتصاص تحدث عندما تكون طاقة الشعاع الساقط أقل من فجوة الطاقة .إن أقل طاقة يمكن أن يكتسبها الالكترون لـلـانتـقال من نطاق التكافؤ (V.B) الى نطاق التوصيل (C.B) تعـطـى بالعـلـاقـة [20]:

$$E_g = h\nu_g = \frac{hc}{\lambda_c} \dots \dots \dots \dots \dots \dots \quad (10-2)$$

حيث:

C: سرعة الضوء

h: ثابت بلانك

v: تردد الفوتون الساقط

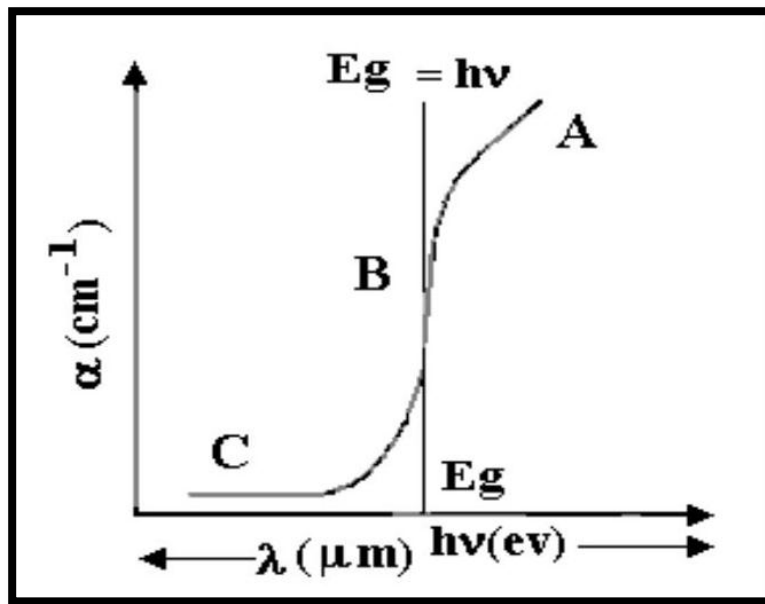
Eg: قيمة فجوة الطاقة

λ: طول موجة القطع (Cut off Wavelength)

٤-٥-٤ - مناطق الامتصاص : Absorption regions

إن منطقة الطيف البصري لأشباه الموصلات يمكن تقسيمها الى ثلاثة مناطق رئيسية كما

موضح في الشكل (1-2) .



شكل (1-2): المناطق المختلفة C,B,A لحافة الامتصاص البصري.[20]

(1) منطقة الامتصاص العالي (A) (High Absorption Region)

وهي المنطقة الممثلة بالجزء A في الشكل (1-2) وفيها يكون معامل الامتصاص (a) ذات قيمة $a \geq 10^4 \text{ cm}^{-1}$ ، وذا علاقة طردية بطاقة الفوتون أي يزداد بزيادة طاقة الفوتون ويختبر للعلاقة التجريبية الآتية علاقة (Tauc) .

$$\alpha h\nu = P(h\nu - E_g)^r \dots \dots \dots \dots \dots \dots \quad (11 - 2)$$

إذ إن :

$h\nu$: طاقة الفوتون.

r : معامل أسي يعتمد على طبيعة الانتقالات الإلكترونية .

P : ثابت يتاسب مع كثافة الحالات في حزمة التكافؤ والتوصيل.

تحدث منطقة الامتصاص العالي نتيجة للانتقالات الحاصلة من قمة المستويات الممتدة (Extended States) في حزمة التكافؤ إلى المستويات الممتدة في حزمة التوصيل .

(2) المنطقة الأسيّة (B) The Exponential Region

هي المنطقة الممثلة بالجزء B في الشكل (2-1) وفيها يكون معامل الامتصاص ذات قيمة ضمن المدى

$(1 \leq \alpha \leq 10^4) \text{ cm}^{-1}$) ويتمثل في المعادلة (12 - 2) :

$$\alpha = \alpha_0 e^{(hv/E_u)} \dots \dots \dots \dots \dots \quad (12 - 2)$$

اذا α : معامل الامتصاص (Absorption Coefficient).

α_0 : قيمة ثابتة.

hv : طاقة الفوتون

E_u : تمثل عرض المستويات الموضعية ضمن فجوة الطاقة (طاقة اورباخ) (Urbach Energy) وتساوي مقلوب الميل للمسقط الممتد من رسم العلاقة البيانية بين ($\ln \alpha$) ، وطاقة الفوتون (hv).

ان هذه المنطقة ناتجة من حدوث الانتقالات من المستويات الممتدة عند قمة حزمة التكافؤ الى المستويات الموضعية عند قعر حزمة التوصيل وكذلك الانتقالات من المستويات الموضعية عند قمة حزمة التكافؤ الى المستويات الممتدة عند قعر حزمة التوصيل [21].

(3) منطقة الامتصاص الواطئ (Weak Absorption Region C)

هي المنطقة الممثلة بالجزء C في الشكل (2-1) وفيها يكون معامل الامتصاص (α) ذات قيمة صغيرة جداً ($\alpha < 1\text{cm}^{-1}$) وتعزى هذه المنطقة الى حدوث الانتقالات في داخل الحزم (Intraband) في المستويات الذيلية، إذ يكون عرض الذيل للمستويات الموضعية (Et) اكبر من عرض المستويات الموضعية (Eu) وتعتمد على كثافة الحالات، وطريقة التحضير وظروفه ونقاوة النموذج. ومن الصعوبة دراسة هذا الامتصاص في الأغشية الرقيقة بسبب مستويات الامتصاص الضعيفة [21].

٦-٢-٦- الانتقالات الالكترونية : Electronic Transition

تعرف الانتقالات الالكترونية بأنها التفاعل بين الموجة الكهرومغناطيسية الساقطة والالكترونات في حزمة التكافؤ لنقلها الى حزمة التوصيل خلال فجوة الطاقة المحضورة، وتقسم هذه الانتقالات على نوعين هما الانتقالات المباشرة وغير المباشرة.

٦-٢-٦-١- الانتقالات المباشرة : Direct Transitions

في هذا النوع تكون قمة نطاق التكافؤ وقعر نطاق التوصيل عند نقطة واحدة في فضاء K ، أي أن $(\Delta k=0)$ ، يحدث الامتصاص في هذه الحالة عندما ($h\nu = Eg$). في هذا النوع يمكن حساب معامل الامتصاص من خلال العلاقة الآتية:[22]

$$ah\nu = B_o(HV - E_g^{opt})^r \dots \dots \dots \dots \dots \dots \quad (13 - 2)$$

حيث:

α : معامل الامتصاص البصري بوحدات cm^{-1} .

$h\nu$: طاقة الفوتون ويقاس بوحدات eV.

B_o : ثابت يعتمد على نوع المادة.

E_g^{opt} : فجوة الطاقة البصرية بوحدات.

r : معامل يحدد نوع الانتقال.

وهناك نوعان من الانتقال المباشر هما:

- الانتقال المباشر المسموح (Direct Allowed Transition) يحدث الانتقال بين أعلى نقطة نطاق التكافؤ وأوطن نقطة لنطاق التوصيل . فيه تكون ($r = 1/2$).
- الانتقال المباشر الممنوع (Direct Forbidden Transition) تحدث الانتقالات بين النقاط المجاورة لأعلى وأوطن نقطة في نطاق التكافؤ والتوصيل على التوالي . فيه تكون ($r=3/2$).

٤-٦-٢-٢ . الانتقالات غير المباشرة : Indirect Transition

في هذه الانتقالات تكون قمة نطاق التكافؤ وقعر نطاق التوصيل في نقاط متفرقة من فضاء k ، يحدث هذا النوع من الانتقال بمساعدة فونون خارجي من أجل حفظ الزخم الناتج من تغير متجه موجة الالكترون . في هذا النوع من الانتقال يمكن حساب معامل الامتصاص البصري من العلاقة الآتية[23] :

$$ah\nu = B_1(h\nu - E_g^{opt} \pm E_{ph})^r \dots \dots \dots \dots \dots \dots \quad (14 - 2)$$

حيث:

Eph: طاقة الفوتون ، B_1 ثابت يعتمد على نوع المادة .

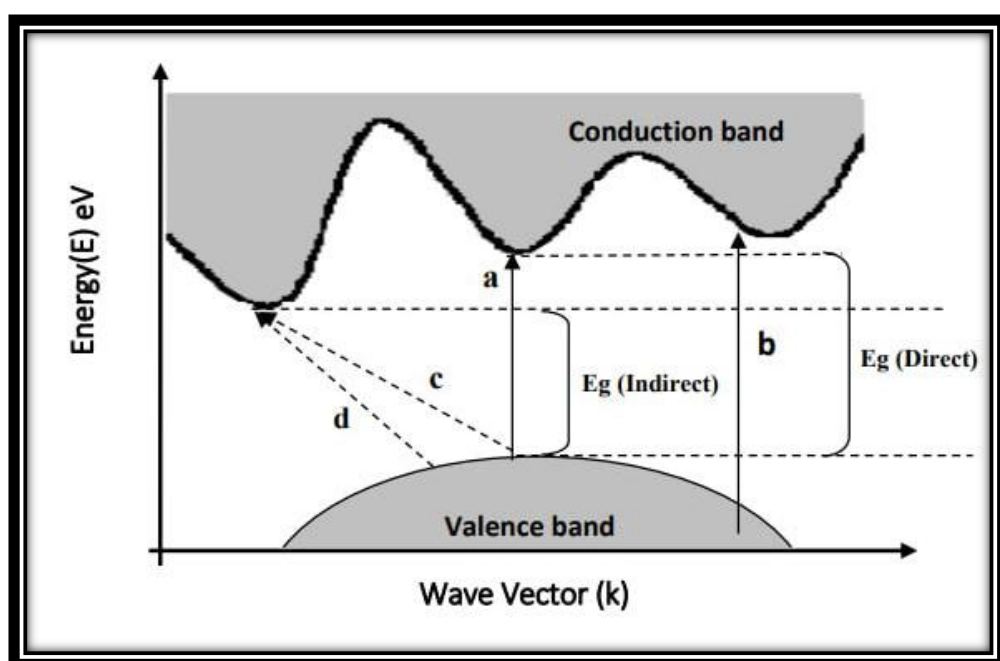
وهناك نوعان للانتقال غير المباشر هما:

• انتقال غير مباشر مسموح (Indirect Allowed Transition):

يحدث هذا النوع في حالة كون الانتقال غير عمودي من أعلى نقطة من نطاق التكافؤ إلى أوطأ نقطة في نطاق التوصيل، وتكون ($r = 2$).

• انتقال غير مباشر ممنوع (Indirect Forbidden Transition):

يحدث عندما يكون الانتقال من نقاط مجاورة لأسفل نقطة في نطاق التكافؤ وأوطأ نقطة في نطاق التوصيل ويكون أيضا غير عمودي وفيه تكون ويكون أيضا غير عمودي، وفيه تكون 3 ($r = 3$).



الشكل (١-٢) يوضح جميع أنواع الانتقالات الإلكترونية [24].

٧-٢-٢- الثوابت البصرية

الثوابت البصرية من الدوال المهمة هي التي عن طريق معرفة قيمها يمكن ان تحدد تطبيقات المواد شبه الموصلة او الاستعمال الامثل للغشاء الرقيق ، وهذه الثوابت هي : -

فجوة الطاقة البصرية

فجوة الطاقة للمواد شبه الموصلة هي مقدار الطاقة التي يحتاج إليها انتقال الالكترون من قمة حزمة التكافؤ إلى قعر حزمة التوصيل او المستوى الموضعي الأقرب للانتقال ، ويتأثر عرض هذه الفجوة بنسب الشوائب المضافة للمادة شبه الموصلة (مادة الغشاء) ، وبدرجة الحرارة ، وهذا التأثير يظهر زيادة او نقصاناً " تبعاً لنوع المادة شبه الموصلة ، فتزداد في بعضها وتقل في بعضها الآخر . وتحسب قيمة فجوة الطاقة للانتقال المباشر المسموح والمنوع والانتقال غير المباشر المسموح والمنوع من معادلة تاووس التجريبية كالتالي [24]:

$$(\alpha h v) = \beta (h v - E_g^{opt})^r \quad \dots \dots \dots \dots \dots \quad (15-2)$$

-٨-٢-٢- معامل الامتصاص : Absorption Coefficient :

يمكن تعريف معامل الامتصاص على أنه نسبة التناقص في فيض طاقة الاشعاع الساقط بالنسبة لوحدة المسافة باتجاه انتشار الموجة داخل الوسط، ويعتمد معامل الامتصاص على طاقة الفوتون (hv) وعلى خواص المادة .

وبحسب قانون بير- لامبرت فإن معامل الامتصاص هو:

$$\log(I_0/I) = 2.303 A = \alpha_0 d \quad \dots \dots \dots \quad (16-2)$$

$$\alpha_0 = 2.303 A/d \quad \dots \dots \dots \quad (17-2)$$

إذ تمثل (d) : السمك (سمك العينة) العبوه التي توضع فيها المادة وقيمتها (1cm) .

-٩-٢-٢- معامل الانكسار : Reflective Index :

ينتقل الضوء بجميع أطواله الموجية بأقصى سرعة له خلال الفراغ وهي كمية ثابتة وتقل هذه القيمة في أي وسط آخر ، كما إنها تتغير في الأوساط المادية باختلاف الأطوال الموجية .

وتعزف النسبة بين سرعة الضوء في الفراغ إلى سرعته في أي وسط معين لطول موجة معينة بمعامل الانكسار الوسط لتلك الموجة .

حيث (c) : سرعة الضوء في الفراغ و (v) : سرعة الضوء في الاوساط المادية .

إن معامل الانكسار غير ثابت ويعتمد على طول الموجة الكهرومغناطيسية. بالإضافة لبعض المواد يختلف معامل الانكسار وفق اتجاه تقدم الموجة الكهرومغناطيسية في المادة، وتستعمل هذه المواد لتغيير اتجاه استقطاب تلك الأمواج [25].

إن معامل الانكسار يبين مدى تأثر المادة بالأمواج الكهرومغناطيسية. عند سقوط الاشعة الكهرومغناطيسية على مادة ما فإنها تعمل على إزاحة الشحنات في المادة عن موقعها الأصلي مولدة بذلك ثنائى قطب فإذا كان (٧) هو تردد المجال الكهربائي المتداوب والتابع لل媦ة الكهرومغناطيسية الساقطة فإن الاستقطاب الكهربائي للجزئية سوف يتذبذب بنفس التردد (٧) وإن جزء من طاقة الموجة الساقطة سوف يتحول إلى طاقة اهتزازية لثنائى القطب الكهربائي المولود ، وبذلك تنقص سعة الموجة الساقطة ، وعلى فرض أن فقدان في الطاقة يسبب تذبذب الثنائيات بشكل قليل ، إلا أن فعل التأخير الحاصل في إعادة الإشعاع سيقلل من سرعة الضوء ، ومن ثم يقال إن المادة تمتلك معامل الانكسار (n) كما في المعادلة (18-2) [25].

ومن هنا يتضح إن الاستقطاب في المادة بفعل سقوط الاشعة الكهرومغناطيسية عليها مقياس لمعامل الانكسار لهذه المادة ، فكلما كان الاستقطاب كبيراً كان فعل التأخير أكبر وكلما كانت سرعة الضوء في المادة أصغر كلما كان معامل الانكسار أكبر ، والمواد التي لا تمتلك استقطاباً لا تمتلك أي تأخير في إعادة الضوء ، وبالتالي فإن معامل انكسارها ($n=1$) . وفي أغلب الحالات يكون معامل الانكسار أكبر من الواحد وقيمة n تتاسب مع كثافة الوسط .

كلما ازدادت كثافة الوسط كلما زاد معامل الانكسار للمادة. كما يمكن الحصول على معامل الانكسار من معادلة (19-2).

ويمكن حساب الانعكاسية R ومعامل الاخمد K من المعادلات الآتية بعد ادخالها هذه المعادلات في برنامج حاسوبي.

$$R + T + A = 1 \quad \dots \dots \dots \dots \dots \dots \dots \quad (20 - 2)$$

$$K = \frac{\alpha_0 \lambda}{4\pi} \quad \dots \dots \dots \dots \dots \dots \dots \quad (21 - 2)$$

١٠-٢-١. معامل الخمود : (K) Extinction Coefficient

يعرف معامل الخمود على انه الخمود الحاصل للموجة الكهرومغناطيسية داخل المادة وهو كمية ما تتصه الإلكترونات المادة من طاقة الفوتونات الساقطة وعلى هذا الأساس فأن قيمته تحدد من خلال تفاعلات الموجة الكهرومغناطيسية مع الوسط . ويتم حساب معامل الخمول من خلال قيم معامل الأمتصاص والمحسوبة من طيف الأمتصاصية وذلك حسب المعادلة الآتية [26]:-

$$K = \frac{a\lambda}{4\pi} \quad (22-2)$$

حيث أن :

A : معامل الأمتصاص $(cm)^{-1}$
 λ : الطول الموجي للشعاع الساقط .

١١-٢-١. ثابت العزل (ال حقيقي والخيالي)

يمثل ثابت العزل قابلية العزل على الاستقطاب ويمثل استجابة المادة لترددات مختلفة وبسلوك معقد ، و هذا الاستقطاب يوصف غالبا بثابت العزل المعقد للوسط ϵ الذي يعرف بالعلاقة الآتية :

$$\epsilon = \epsilon_1 + i\epsilon_2 \quad \dots \dots \dots \dots \dots \dots \dots \quad (23 - 2)$$

يحسب ثابت العزل الحقيقي من العلاقة :

$$\epsilon_r = n^2 - k \quad \dots \dots \dots \dots \dots \dots \dots \quad (24 - 2)$$

ويحسب ثابت العزل الخيالي من العلاقة :

$$\epsilon_i = 2n_0 - k_0 \quad \dots \dots \dots \dots \dots \dots \dots \quad (25 - 2)$$

(٣-٢) الخصائص التركيبية (Structural properties)

حيود الأشعة السينية (X-Ray Diffraction) (XRD)

من الممكن استخدام تقنية حيود الأشعة السينية (X-ray) للتعرف على طبيعة التركيب البلوري والأطوار البلورية الرئيسية والاتجاه السائد للأغشية المحضرة عند ظروف معينة لمادة ما ودراسة الترتيب الذري لها [٧٤]. إن الأشعة السينية هي موجات كهرومغناطيسية ذات أطوال موجية محددة وتقع بين الأشعة فوق البنفسجية وأشعة كاما، إذ أن أطوالها الموجية تتراوح بين (١٠٠.١) لذلك نفضل إستخدامها في معظم تجارب الحيود البلوري وبشكل عام فإن الحيود يعتمد على التركيب البلوري والطول الموجي للأشعة المستخدمة أي أن الطول الموجي يجب أن يكون مساوياً أو مقارباً لثابت الشبكة [٧٥] ، ومن دراسة أنماط حيود الأشعة السينية يمكن تمييز أشباه الموصلات البلورية عن العشوائية، إذ أن نمط الحيود يكون على هيئة حلقات عريضة ضعيفة الإضاءة ومتعددة المركز للمواد العشوائية ، وعلى هيئة نقاط مضيئة حادة في المواد أحدادية التبلور وعلى هيئة حلقات رفيعة ذات إضاءة حادة متداخلة ومتعددة المركز في المواد متعددة التبلور .

تسهم دراسة الخواص التركيبية للأغشية في تحديد هوية الأغشية المستحصل عليها، من طبيعة ونظم رصفها ونوع المستويات البلورية التي يمتلكها الغشاء وتساعد دراسة الخواص التركيبية على تفسير النتائج المتباينة والكثيرة التي ترافق تغير الخواص الكهربائية للأغشية تبعاً لتغير ظروف التحضير ونوع ونسب مواد الاشابة وغيرها من المؤثرات الأخرى.

الفصل الثالث : الأجهزة والمواد المستخدمة

١-٣ المقدمة

يتناول هذا الفصل الأجهزة المستخدمة لقياس تأثير التركيز على الخصائص البصرية والتركيبيّة لبوليمير .PVA

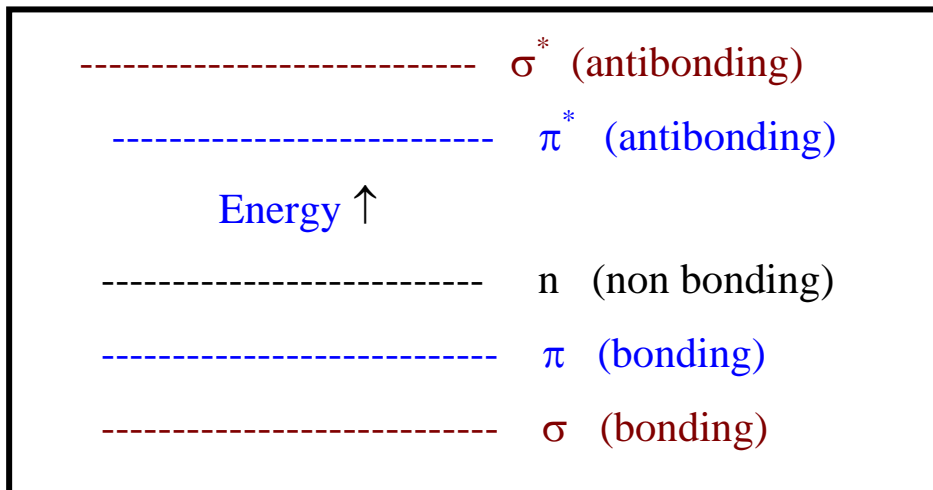
٢-٣ جهاز الامتصاص البصري الذري للموجات فوق البنفسجية (مخطط UV)

الأشعة فوق البنفسجية لها طول موجي أقصر من الطول الموجي للضوء الأزرق (400-200) نانومتر ، والأشعة فوق البنفسجية غير مرئية بالنسبة للإنسان ولكن بعض الطيور يمكنها أن ترى بواسطتها ، كما أن هذه الأشعة تساعد على تنشيط التفاعلات الكيميائية في النباتات ولكن التعرض لها أكثر من اللازم يقتل الخلايا النباتية.



جهاز الامتصاص UV

وتترتب المسارات الجزيئية المختلفة بحسب مستويات الطاقة كما هو موضح في شكل (1-3) حيث أن الطاقة اللازمة للانتقال الإلكتروني من مسار آخر تكون أعلى ما يمكن في حالة $\sigma \rightarrow \sigma^*$ يليها الانقال في حالة $\sigma^* \rightarrow n$ ثم يليها بعد ذلك الانقال من $\pi^* \rightarrow \pi$ وفي النهاية يكون أقل كمية من الطاقة هي التي تستهلك في حالة الانقال من $\pi^* \rightarrow \pi$



شكل (1-3): تدرج مستويات الطاقة للمسارات الجزيئية المختلفة [27]

إن طبيعة وطريقة ترتيب الإلكترونات في الجزيئ هي المسؤولة عن مدى امكانية امتصاص الجزيئ فوق البنفسجي وتنقسم الإلكترونات الجزيئ إلى أربعة أقسام.

- 1- الإلكترونات الأغلفة الداخلية وهذه طاقة إثارتها عالية جداً لذلك فهي لا تؤدي إلى امتصاص الأشعة UV أي تحتاج إلى طاقة الأشعة السينية لانتقالها .
- 2- الإلكترونات الروابط الأحادية المشبعة electrons - σ وهذه طاقة إثارتها أيضاً عالية فالجزيئات التي تحتوي على هذا النوع فقط مثل الهيدروكربونات المشبعة لا تُمتص في المجال فوق البنفسجي ، لكنها تُمتص في المنطقة المفرغة من المجال فوق البنفسجي 10-200 نانومتر.
- 3- إلا لكترونات الحرة الالاترابطية (n) و التي توجد في الجزيئات التي تحتوي على ذرات العناصر الهالوجينات و S و O و N ، وهي لا تساهم بتكوين الروابط، وهي أسهل إثارة من الإلكترونات الروابط الأحادية المشبعة لذلك فهي تُمتص في المجال فوق البنفسجي. [28]
- 4- الإلكترونات الموجودة في مدارات من النوع π أي الإلكترونات الروابط المضاعفة ، وهي أسهل إثارة مقارنة بالأنواع ، السابقة وعليه نجد المركبات التي تحتوي على هذا النوع من الإلكترونات هي المسؤولة عن أغلب عمليات الامتصاص في المجال فوق البنفسجي. وعلى ذلك لا تُمتص المركبات الهيدروكربونية المشبعة - الخالية من أليكترونات n و المشتملة فقط على روابط σ اشعاعات UV العادية.

١-٢-٣ - الأطيف الإلكتروني : Electronic Spectra

الطيف الإلكتروني لمركب ما عبارة عن منحنى يوضح تغير شدة الإمتصاص (الإمتصاصية) مع تغير طول موجة الأشعة المارة في محلول المركب تحت الدراسة . ويهمنا من هذا المنحنى معرفة طول الموجة التي تكون عندها شدة الإمتصاص أكبر ممكناً ويرمز لها بالرمز λ_{max} وكذلك معامل الإمتصاص المولري أو المولاري ϵ عند هذه الموجة . وترتبط شدة الإمتصاص (A) بتركيز محلول (C) وطول الخلية (L) بالمعادلة التالية [28]:

$$A = \epsilon CL$$

وتعود هذه المعادلة أحياناً باسم قانون لامبرت - بير ومنها يتضح أن شدة الإمتصاص للمركب (إمتصاصية المركب) تتناسب تتناسب طردياً مع كل من التركيز المولري (C) وطول الخلية (L) ، وأن معامل الإمتصاص المولري لمركب ما يساوي شدة الإمتصاص لمحلول المركب الذي تركيزه 1 مول / لتر وموضع في خلية طولها 1 سم . أهم صفتين طيفيتين يمكن الاستفادة منهما هما الطول الموجي الأعظم λ_{max} ومعامل الإمتصاص المولاري ϵ أو يعرف بشدة الإمتصاص عند والتي تستعمل في تشخيص المادة نوعياً كما يستفاد منها أيضاً في الحسابات الكمية [29].

ويعد كلاً من λ_{max} و ϵ من الثوابت الفيزيائية التي تميز المركبات العضوية عن بعضها . ولا تصلح هذه العلاقة في حالة التركيزات المرتفعة جداً . لذا ينصح في التطبيق العملي إستعمال المنحنى العياري (Calibration curve) للإمتصاص بدلاً من التركيز عند قمة الإمتصاص الضوئي للمركب . كما يمكن تقدير الكثير من المواد التي لا تمتلك الضوء مباشرة وذلك بإضافة مركبات معينة لتكون مترافقاً ماصة للضوء أو تكون مجموعة إمتصاص (Chromophore) .

ومن العوامل المؤثرة على شدة وموقع الإمتصاص هي:

١- الكروموفورات أو حاملات الألوان هي مجاميع عضوية تحدث فيها الانتقالات $n^{3/4} \propto p^{\frac{3}{4}}$ حيث p هي تركيز الماء خالص امتصاصها أشعة فوق بنفسجية أو مرئية، ويطلق عليها حاملات اللون أو هي تسبب اللون، والجزئية التي تحتوي على هذه المجاميع نسمى مولدة الصبغة Chromogène . وهي ناتجة عن توافر الاوامر المضاعفة المتعاقبة حيث كلما زاد عددها زاد الطول الموجي وظهور لون مميز في الأشعة المرئية لذلك المركب كما في الأصباغ كدليل الفينولفاتلين والمثيل الأحمر [29].

كذلك وجود مجاميع مطورة للون (auxochrome) مثل NH_2 , OH , Cl تؤدي إلى ازاحة نحو الأحمر أي إلى طول موجي أطول و طاقة انتقال قليلة بسبب الرنين الذي تحدثه هذه المجاميع بفعل وجود زوج الالكترونات غير المشترك n و التي تسبب استطاله السلسلة للنظام المتعاقب . حيث تصبح الالكترونات غير المشاركة جزء من النظام المتعاقب و تؤدي إلى إضافة آصرة مزدوجة الحاوية على زوج الالكترونات غير المشاركة.

1- ان اختيار المذيب في طيف الاشعة فوق البنفسجية مهم جدا ومن شروط المذيب ان لا يمتص في نفس المنطقة التي تمتص و من امثلة المذيبات كما في منطقة الـ UV ويفضل المذيب الذي ليس له او اصر مزدوجة متعاقبة حتى يكون شفاف نحو UV ويوضح الجدول التالي اهم المذيبات [30] .

المذيب	الطول الموجي	المذيب	الطول الموجي
Acetonitrile	190 nm	n-Hexane	201nm
Chloroform	240 nm	Méthanol	205 nm
Cyclohexane	195 nm	Isooctane	195 nm
1,4Dioxane	215 nm	Water	190 nm

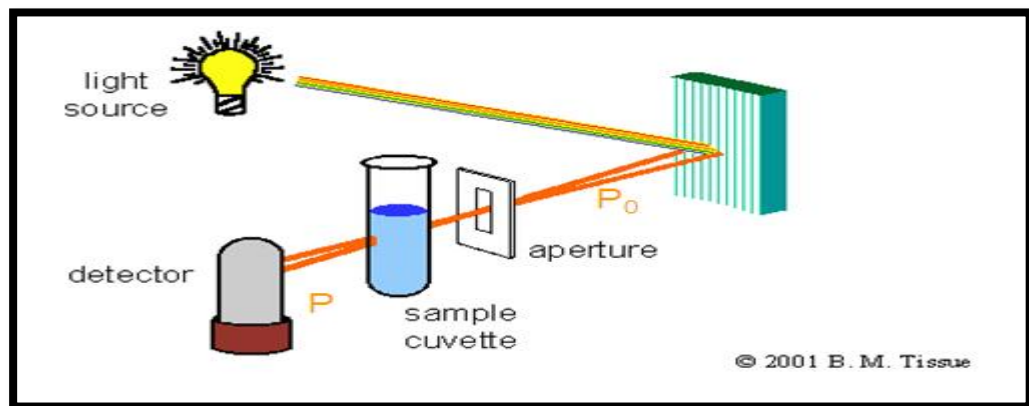
جدول (1-3) اهم المذيبات المستخدمة في التحليل[30]

كذلك يفضل المذيب غير القطبي حتى لا يكون رابطة هيدروجينية مع المذاب عكس المذيب القطبي الذي يكون رابطة هيدروجينية مع المذاب و يؤدي إلى ظهور طيف غير واضح او غير دقيق . ان الماء هو مذيب قطبي فهو يكون رابطه هيدروجينية مع زوج الالكترونات على ذرة الاوكسجين في الاسيتون مثلا ويساهم استقرار الحالة المتهيجة مما يقلل من الطول الموجي ويزيد من الطاقة اللازمة للانتقال حيث طول الموجة 246,5 بينما الهكسان وهو مذيب غير قطبي لذلك يكون هو الاحسن حيث يكون الطول الموجي 279 لانه لا يكون رابطة هيدروجينية مع n اي طاقة اقل للانتقال. [31]

٢-٣-٢- مطياف الأشعة فوق البنفسجية UV-Spectrophotometer

في مطياف الأشعة فوق البنفسجية في جهاز (شكل ٣-٢) ، وهذا الجهاز مزود بمصدرين للضوء أحدهما مصدر للأشعة المرئية والآخر مصدر للأشعة فوق البنفسجية لمبة مع استخدام كشاف يستطيع كشف طاقة الأشعة المرئية وفوق البنفسجية ، ولذلك يمكن لهذا الجهاز قياس الأشعة الممتصة في نطاق الأشعة المرئية وفوق البنفسجية ، ومن ثم تقدير تركيز المواد الملونة والمواد التي تمتص في نطاق الأشعة فوق البنفسجية .
يعتمد مطياف الأشعة فوق البنفسجية على قياس طاقة الأشعة الكهرومغناطيسية الممتصة بواسطة بعض المركبات العضوية والحيوية عند أطوال موجية تقع في المدى الخاص بالأشعة فوق البنفسجية القريبة (380-200 نانومتر).

وتناسب الطاقة الممتصة تناصباً طردياً مع تركيز هذه المركبات ، فكلما زاد التركيز تزداد كمية الطاقة الممتصة. ويوضح شكل (٣-٢) جهاز مطياف الأشعة فوق البنفسجية.

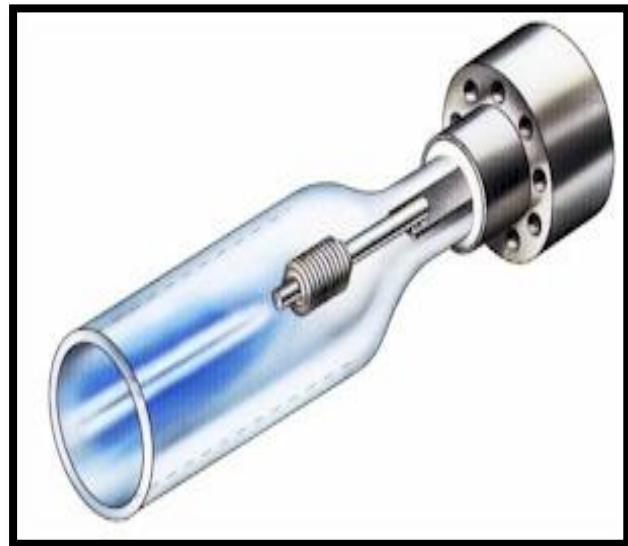


شكل(٣-٣) مطياف الأشعة فوق البنفسجية [31]

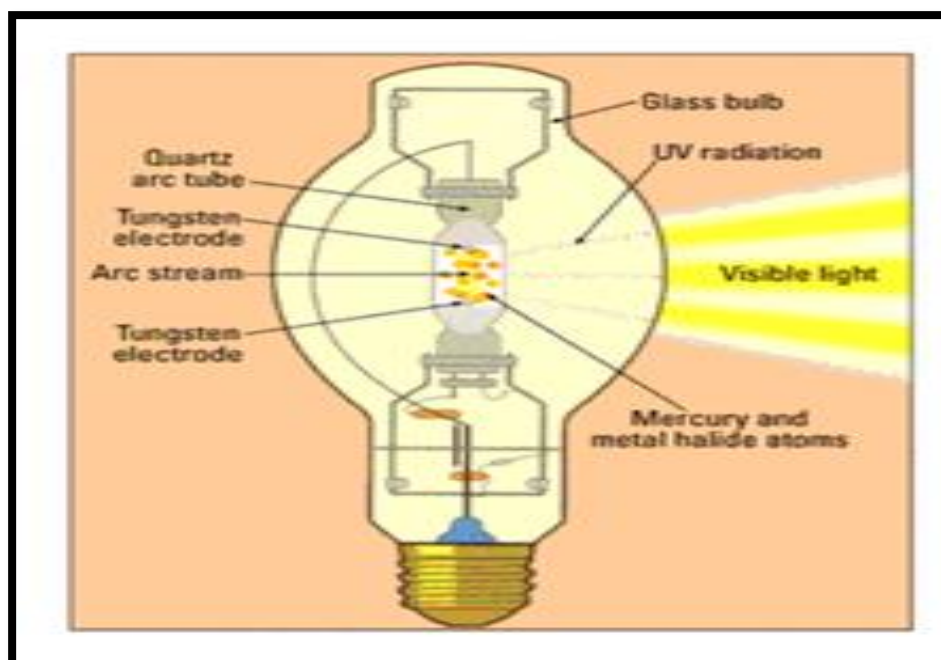
٣-٣-٣- مكونات مطياف الأشعة فوق البنفسجية

مصدر الأشعة فوق البنفسجية : للحصول على الأشعة فوق البنفسجية تستخدم لمبة الهيدروجين Hydrogen lamp أو لمبة الديوتيريوم Deuterium discharge (شكل ٣-٣) ، وتتكون من قطبين في أنبوبة زجاجية ذات نافذة كوارتز ومملوءة بغاز الهيدروجين أو الديوتيريوم على ضغط منخفض ويطلب شرارة كهربائية وهي تعمل تحت ضغط منخفض وتيار كهربائي متعدد DC لانتاج الأشعة فوق البنفسجية وعند غلق الدائرة تثار الأليكترونات في الجزيء الغازي الى مستويات الطاقة الأعلى وعند

عوده الأليكترونات المثاره الى المستويات الأقل تتسع الاشعاعات في نطاق مستمر 350 nm - 180 . تستخدم لمبة التجستن Tungsten lamp كمصدر للأشعة المرئية visible light وهي مصدر رخيص للطيف المرئي ، وت تكون لمبة التجستن (شكل 3-4) من فتيل من التجستن في أنبوبة زجاجية ، ويُسخن هذا الفتيل بواسطة تيار كهربائي مستمر منتظم ويشع فتيل التجستن طيف مستمر بين 350 - 2500 nm وتنتج هذه الأشعة المستمرة نتيجة لتدبب الذرات في الفتيل عند ارتفاع درجة حرارته الى درجة التوهج [32].



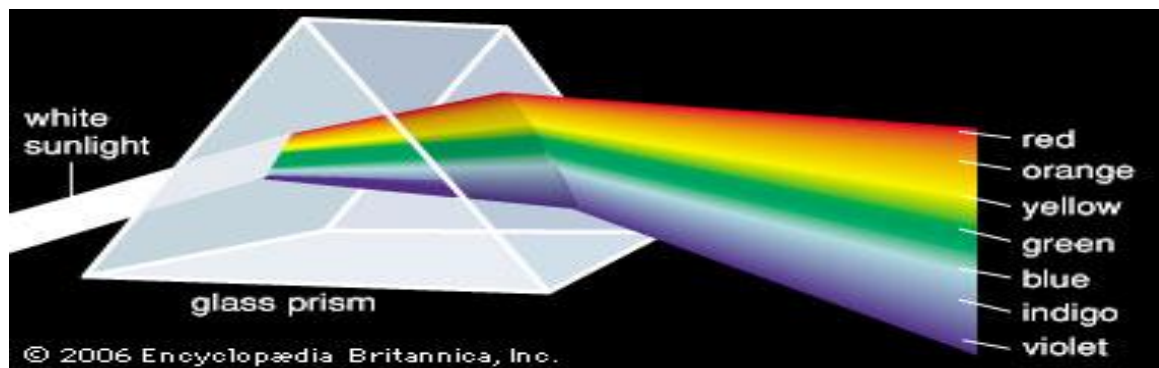
الشكل (3-3) مصباح الهيدروجين او الديوتيريوم[32]



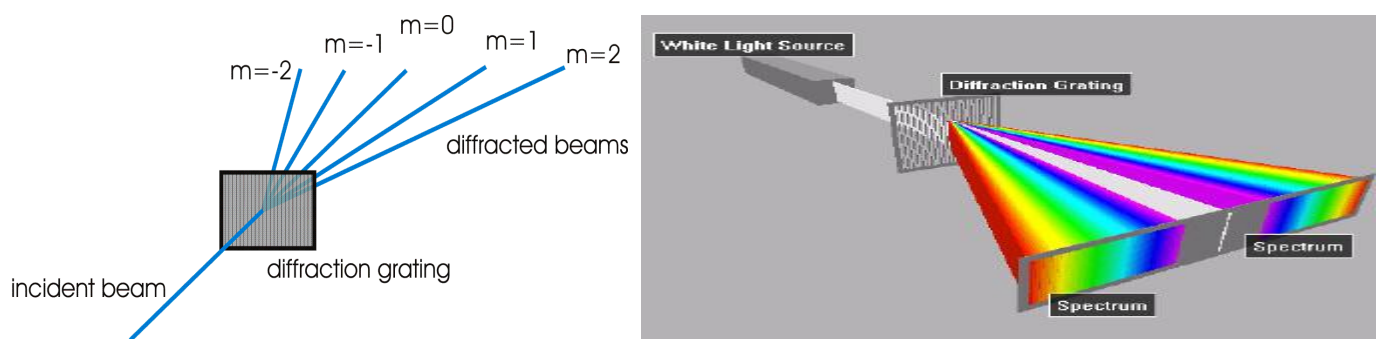
الشكل (4-3) مصباح التجستن[32]

٤-٢-٣ - موحد أطوال الموجات Monochromator

يعتبر المنشور prism (شكل ٥-٣) ، والمحزوز grating (شكل ٦-٣) من أهم موحدات الموجات monochromators التي تستخدم للحصول على نطاقات ضيقة من طيف الأشعة فوق البنفسجية حيث يمكنها تمييز النطاق المستمر للطيف المختلط إلى حزم ضيقة narrow bands وبالتالي تزداد القدرة على التمييز resolution للأشعة المتتصة والمتقاربة في طول الموجة مما يزيد من حساسية الجهاز ، وتخلف وحدة فصل الأطوال الموجية باختلاف تصميم الجهاز [33].



شكل (٥-٣): المنصور الضوئي Light prism



شكل (٦-٣): المحزوز الضوئي Light grating

ويتميز كل من المنصور ومحزوز الحيوى المستخدم في مطياف الأشعة فوق البنفسجية عن المرشحات الضوئية المستخدمة في مطياف الأشعة المرئية بما يلي [34]:

- ١- درجة الفصل تكون على درجة أعلى وتكون الحزم المفصولة في مدى ضيق جداً تترواح بين $0.1 - 0.2 \text{ } \mu\text{m}$ في حالة المنشورات والمحزوّرات ، بينما تكون في حالة المرشحات $35 \text{ } \mu\text{m}$

2- يمكن توجيه الحزم المفصولة الواحدة بعد الأخرى على العينة وبصورة مستمرة عن طريق تغيير الوضع الهندسي للمنشور ، وبذلك يمكن عمل scanning لامتصاص على أطوال موجات مختلفة. ولذلك بدأت تحل موحدات الموجات محل المرشحات في أجهزة قياس الطيف المرئي ، وبذلك نجد أن موحد الموجات لها قدرة عالية على تمييز الاشعاع المختلط polychromatic radiation إلى أطوال موجات منفردة في حزم مستدقة. حيث المرشحات عبارة عن مادة زجاجية ملونة بلون معين حيث كل لون يمرر حزمة من الأطوال الموجية المتعددة فتكون عملية التفريغ بينها قليلة ويتم استبدالها ان كان المراد القياس في طول موجي مغایر لا يرشحه المرشح الملون .

٥-٣- خلايا العينات Sample containers

قد تكون العينات المختبرة بالأأشعة فوق البنفسجية عينات سائلة أو غازية ، وتوضع العينات في خلايا مصنوعة من الكوارتز أو fused silica . وتكون سمك خلية القياس في خلايا الغازات من 0.1 - 10 mm بينما تكون في حالة المحاليل بين 1-10 cm و قد تستخدم خلايا دقيقة يطلق عليها micro cells في وجود مكثف شعاع يسمى beam condenser لكي نتمكن من فحص العينات الصغيرة الحجم. ويجب الحفاظ على نوافذ الخلايا نظيفة تماماً من بصمات الأصابع والخدوش وآثار العينات السابقة وذلك لتفادي أي خطأ في القياس ويمكن تنظيف خلايا الكوارتز بشطفها بالماء أو الصابون مع الماء أو بحمض التريك المركز [35].

ومكان وضع العينة يكون بعد موحد الموجات في جهاز الـ UV monochromator spectrophotometer كما وسبق أن بينا في جهاز.



الشكل (3-7) الخلايا [36]

٦-٢-٣ - وحدة قياس طاقة الأشعة Detectors

يمتص الكشاف طاقة الفوتونات الساقطة عليه ويحولها إلى قياسات كمية ، ومعظم الكشافات الحديثة تولد اشارات أليكترونية يمكن تسجيلها بمقاييس أو مسجل معين ، ويتميز الكشاف الجيد بالآتي:

- ١- أن يكون له حساسية عالية مع انخفاض الضجيج background noise حتى يمكنه كشف الأشعة الضعيفة أيضا.
- ٢- أن يكون له مدى قصير للاستجابة.
- ٣- الثبات على مدى واسع لضمان العلاقة الكمية بين قوة الاشارة وقوة الاشعاع الساقط عليه.
- ٤- يعطي اشارة أليكترونية يسهل تكبيرها وقراءتها.

والكشافات المستخدمة في مطياف الأشعة - فوق البنفسجية هي الكشافات الكهروضوئية وهي تستخدم مع جميع أجهزة Spectrophotometers التي تستخدم المنشور أو المحزوز في فصل الأشعة لأن طاقة هذه الأشعة منخفضة جدا [37].

٧-٢-٣ - وحدة التسجيل (meter) Recorder

هناك طريقتان لعرض النتائج الخاصة بالامتصاص:

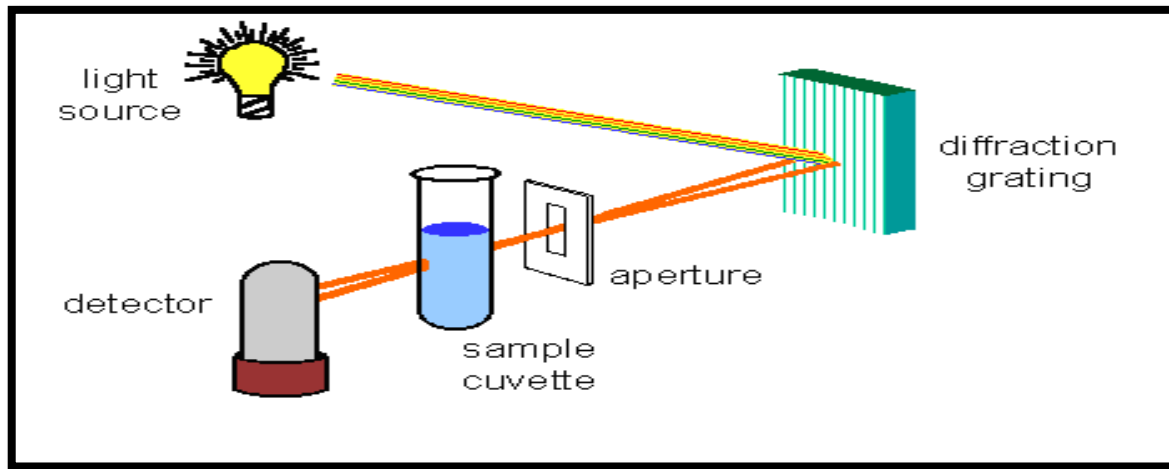
- ١- في حالة التقديرات الكمية والتي يستخدم فيها طول موجي واحد فان الامتصاص أو النفاذية تظهر على شاشة رقمية Digital
- ٢- أما في أجهزة المطياف التي يقاس فيها الامتصاص كدالة في الطول الموجي فتعرض النتائج في صورة رسم بياني spectrograph

٨-٢-٣ - انواع أجهزة مطياف الأشعة - فوق البنفسجية

ويوجد العديد من طرز أجهزة مطياف الأشعة - فوق البنفسجية وهذه الطرز تختلف عن بعضها في التصميم ولكنها تشتراك في الوحدات الأساسية[38].

• المطياف وحيد الحزمة Single Beam Spectrophotometer

يوجد في هذه الأجهزة مسار واحد للأشعة من المصدر الضوئي إلى وحدة القياس ، ويتم تشغيل الجهاز عادة على طول موجي معين يمكن توجيهه الى العينة بواسطة مفتاح في الجهاز يتصل بالمحزوز لتعديل وضعه الهندسي في المكان المناسب لتوجيهه هذا الطول الموجي الى العينة ، وعلى ذلك يستخدم هذا النوع من الأجهزة في التقديرات الكمية (شكل ٨-٣).

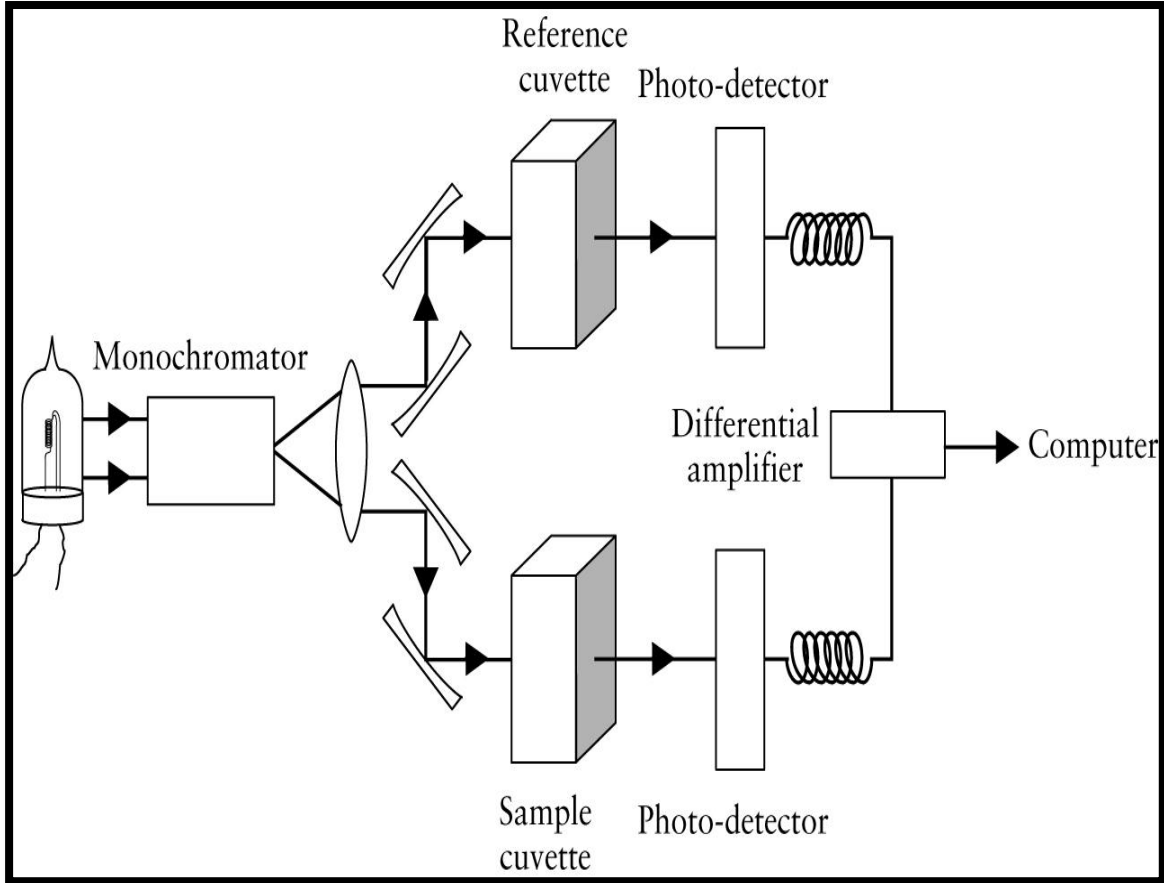


شكل (8-3): مطياف وحيد الحزمة [38]

• المطياف مزدوج الحزمة Double Beam Spectrophotometer

هذه الأجهزة مزودة بمجزيء للأشعة Beam splitter حيث يقوم المجزيء بتقسيم أشعة المصدر إلى حزمتين أحدهما تمر على العينة والأخرى تمر على المذيب أو العينة المقارنة ، وفي هذا النوع من الأجهزة يمكن تغيير الطول الموجي المستخدم في التقدير بطريقة ذاتية ومستمرة وبذلك يمكن تقدير الامتصاص على الأطوال الموجية المختلفة والحصول على طيف الامتصاص وتسجيله.

وستستخدم هذه الأجهزة في التحليل الوصفي عندما يكون الغرض هو الحصول على طيف الامتصاص لمركب تحت الدراسة (شكل ٩-٣).



شكل (٣-٩): مطياف مزدوج الحزمة [39]

ويوجد تصميمان من المطياف مزدوج الحزمة وهما:

❖ مطياف الحزمة المزدوجة في الوقت Double beam in time arrangement

وهنا بعد خروج الأشعة من وحدة فصل الأشعة فإنها تتناوب بين العينة والبلازنك بتردد ثابت وعلى ذلك فان هاتين الحزمتين المتناوبتين تسقطان على خلية ضوئية واحدة.

❖ مطياف الحزمة المزدوجة في الفراغ Double beam in space

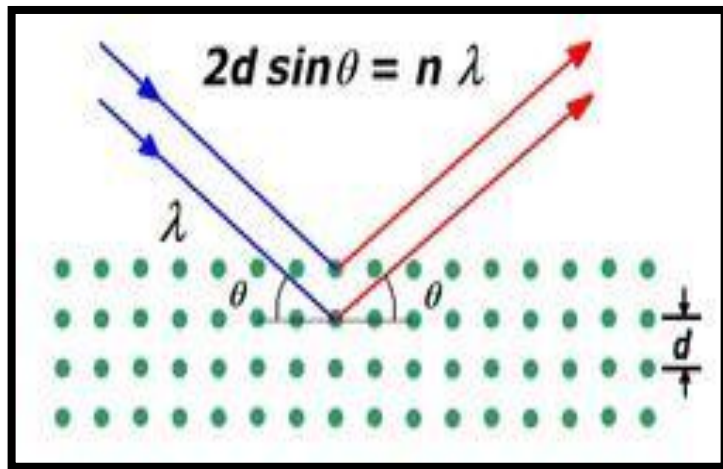
وهنا يوجد مساران ضوئيان منفصلين ينتجان من أشعة المصدر بواسطة مجذيء وعدة مرآيا تسقط أحدهما على العينة والأخرى على البلازنك وتسقط بعد ذلك كل حزمة على خلية ضوئية مستقلة ويجري تقدير الامتصاص بمقارنة نسبة كثافة الأشعة الساقطة على الخلتين.

٣-٣ جهاز الخصائص التركيبية XRD (X-Ray Diffraction)

في عام ١٨٩٥ اكتشف عالم ألماني اسمه ويليام رونتجن Wilhelm Roentgen اشعة أكس بينما كان يجري تجربة تسلیط شعاع الكتروني على أنبوبة تأین غازی gas discharge tube. لاحظ العالم رونتجن أن الشاشة الفوسفورية في المختبر بدأت تتوهج عند اصطدام شعاع الالكترونات عليها. هذه النتيجة في حد ذاتها لم تكن مدهشة حيث كان من المعلوم أن تتوهج الشاشة الفوسفورية بفعل الشعاع الالكتروني ولكن رونتجن احاط الانبوبة المفرغة بالواح سوداء سميكه لتتمكن من حجب الاشعاع الكهرومغناطيسي المنبعث من الانبوبة المفرغة، كما وضع رونتجن عدة اجسام بين الانبوبة والشاشة الفوسفورية وكانت النتيجة ان الشاشة الفوسفورية لا زالت تتوهج. وحتى يتتأكد من ان هناك اشعة جديدة هي التي اخترقت تلك الاجسام ووصلت للشاشة الفوسفورية قام رونتجن بتجربة اضافية وهي بأنه وضع يده امام الانبوبة المفرغة وشاهد على الشاشة الفوسفورية صورة لعظام يده، لاحظ هنا ان رونتجن اكتشف اشعة جديدة هي اشعة اكس وفي نفس الوقت اكتشف احد اهم تطبيقاتها [40].

رونتجن اكتشف اعظم واهم انجاز طبي في تاريخ البشرية وهو التشخيص باستخدام اشعة اكس التي تسمح للاطباء بتشخيص الكسور في العظام بدون اجراء عملية جراحية كما تستخدم اشعة اكس للكشف على الاجسام الغريبة في جسم الانسان وتطور التشخيص باشعة اكس لتمكن الاطباء من تسويير الاوعية الدموية والاعضاء البيولوجية في جسم الانسان .

هي عائلة من التقنيات التحليلية اللاتلافية التي تعطي معلومات حول البنية البلورية، والتركيب الكيميائي، والخواص الفيزيائية للمواد والطبقات الرقيقة للمواد البلورية. تعتمد هذه التقنيات على مراقبة تبعثر شدة حزمة من الأشعة السينية الساقطة على العينة كتابع لزاوية السقوط والتبعثر، والاستقطاب، وطول الموجة أو القدرة [40].



الشكل (١٠-٣) يوضح قانون برااغ [40].

الأشعة السينية هي أشعة كهرومغناطيسية ذات طاقات فوتونية في مجال 100 eV إلى 100 eV إلكترون فولت. وفي تطبيقات الحيود، تستخدم فقط الأشعة السينية ذات الأطوال الموجية القصيرة (الأشعة السينية классية) في مجال بضعة أنغسترومات إلى 1.0 \AA . أنغستروم (1 \AA إلكترون فولت إلى 120 \AA إلكترون فولت). ولأن طول موجة الأشعة السينية يقارن مع حجم الذرات، فإنها نظرياً مناسبة لكي تسرد الترتيب البنوي للذرات والجزئيات في طيف واسع من المواد. فالأشعة السينية القوية يمكنها اختراق المواد عميقاً وتزوييناً بمعلومات عن بنية المادة.

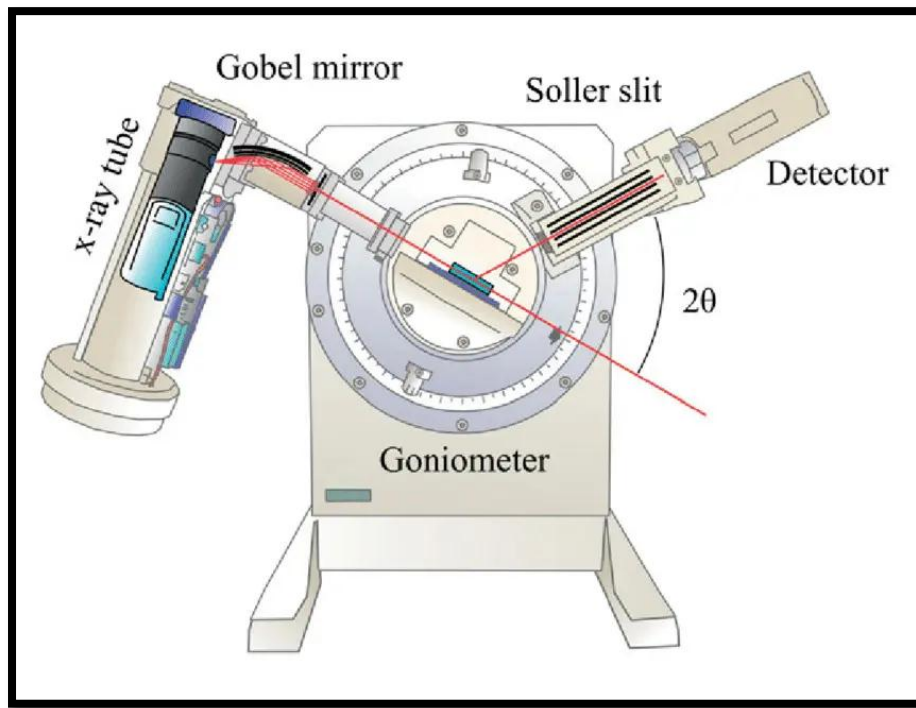
تفاعل الأشعة السينية بالدرجة الأولى مع الإلكترونات في الذرة. فعندما تصطدم الفوتونات في الأشعة السينية بالإلكترونات، تحيد بعض فوتونات الحزمة الساقطة عن اتجاهها الأصلي. إذا لم يتغير طول موجة الأشعة السينية الساقطة (أي أن فوتونات الأشعة السينية لم تفقد أي طاقة) تسمى العملية بالتباعد المرن أو تبعثر طومسون حيث يتحول زخم الحركة فقط في عملية التبعثر. وهذه هي الأشعة السينية التي نقيسها في تجارب الحيود والتي تقدم لنا معلومات عن توزع الإلكترونات في المواد. ومن جهة أخرى، في عملية التبعثر غير المرن أو تبعثر كومبتون تنقل الأشعة السينية بعض طاقتها إلى الإلكترونات فيكون للأشعة السينية المحادة طول موجة مختلف عن طول موجة الأشعة السينية الساقطة [41].

تتدخل الأمواج المحادة من الذرات المختلفة مع بعضها البعض ويتعارض توزع الشدة الناتجة بهذا التأثير. فإذا كانت الذرات مرتبة بانتظام كما في البلورات، فإن الأمواج المحادة ستكون من تداخل أعظمي (ذرى) بنفس تناسب توزع الذرات. إن قياس نموذج الحيود يتيح لنا استنتاج توزع الذرات في المادة.

الذري في صورة الحيود تتعلق مباشرة بالمسافات الذرية. ليكن لدينا شعاع من الأشعة السينية يتفاعل مع الذرات المرتبة بانتظام كما يظهر في الشكل ثنائي الأبعاد المجاور. الذرات الممثلة بنقط خضراء تشكل عدة مستويات في البلورة (الخطوط السوداء في الشكل اليميني). يعرف شرط حدوث الحيود من أجل مجموعة من المستويات الشبكية المتباينة بمسافة d بقانون براغ [42]:

$$n\lambda = 2d \sin \theta \quad (1-3)$$

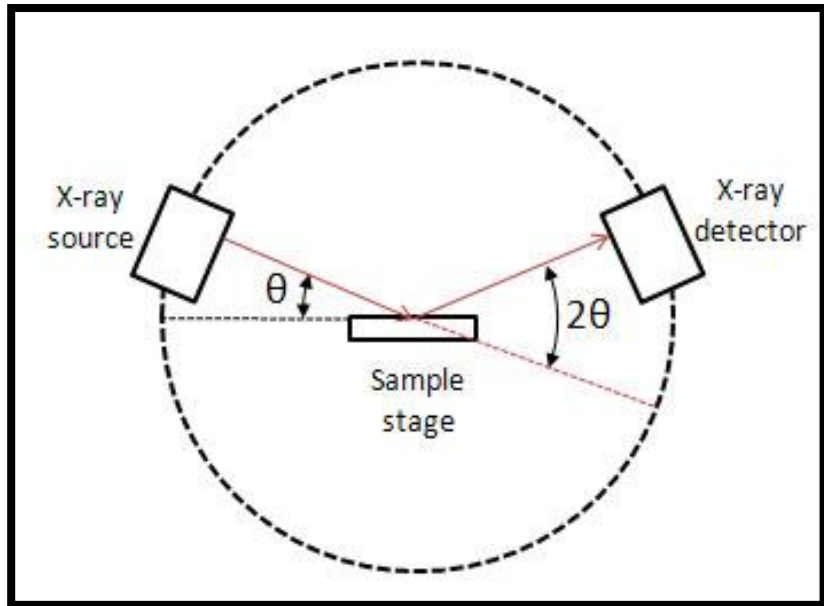
وقانون براغ هو من أهم القوانين المستخدمة في فهم معطيات حيود الأشعة السينية.



الشكل (١١-٣) يوضح التمثيل التخطيطي لتقنية XDR

١-٣-٣ مبدأ العمل

الأشعة السينية هي نوع من الإشعاع الكهرومغناطيسي، عندما تنتشر الأشعة السينية أحادية اللون من مادة ذات بنية بهذا المقاييس، فإنها تسبب تداخلات. يخلق هذا التداخل نمطاً من الشدة المنخفضة والعالية بسبب التداخل البناء والهدم (قانون براغ). إذا كانت هناك مادة بلورية يتم إنشاء نمط ثلاثي الأبعاد مثل المسافات بين المستويات في الشبكة البلورية، وتسمى هذه العملية بالتداخل البناء. ومن خلال جمع كل الأشعة السينية المنحرفة يمكن تحليل بنية العينات. الطريقة التي تكشف بها الأشعة السينية التركيب الذري للبلورات تعتمد على قانون براغ . يوضح الشكل ١٢-٣ التمثيل التخطيطي لمبدأ عمل XRD.



الشكل (١٢-٣) يوضح التمثيل التخطيطي لمبدأ عمل XRD.[42]

٢-٣-٣ المكونات XRD

المكونات الثلاثة الرئيسية لجهاز XRD هي أنبوب الأشعة السينية، وحامل العينة، وكاشف الأشعة السينية.

١. أنبوب الأشعة السينية: هو المصدر الذي تتبع منه الأشعة السينية ويكون من أنبوبة الأشعة الكاثودية المزودة بفتحة تتجسّن للتسخين. وينتج عن ذلك الإلكترونات التي تتسارع على سطح العينة عن طريق تطبيق الجهد الكهربائي. يتم التحكم في قصف الإلكترونات على العينات بواسطة الخيوط التي تؤثر على كثافة خرق الأشعة السينية.

٢. حامل العينة: هو الطابق السفلي الذي توضع عليه العينة المراد تشخيصها ويمكن تدويره في اتجاه أنبوب الأشعة السينية والكاشف. يتم إجراء التعديلات حسب انعكاس وانبعاث الأشعة السينية من العينة.

٣. كاشف الأشعة السينية: يستخدم كاشف الأشعة السينية لتسجيل ومعالجة إشارة الأشعة السينية الواردة من العينة. يتم تحويل الإشارات المستقبلة إلى معدل العد الذي يتم الحصول عليه كإخراج على الشاشة أو الطابعة.

الفصل الرابع

النتائج و المناقشة

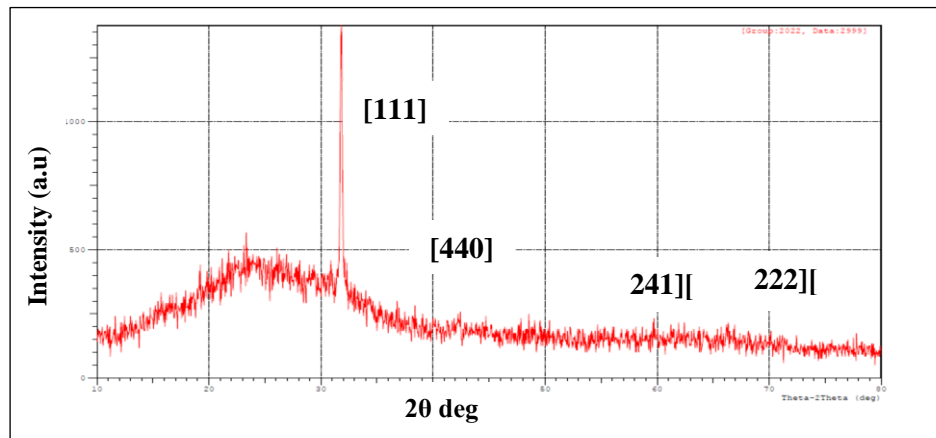
٤-١ حيود الأشعة السينية

وتكمّن أهمية هذا القياس في معرفة التركيب البلوري للمواد وإظهار أطوار المواد المترسبة وطبيعة ترتيب الذرات فيها واتجاهها. ويمثل الشكل (١) بطاقات (المعيار الأمريكي لمواد الاختبار) المرقمة (٠٣٠٦٥٠٦٠١) وكما هو مبين في الجدول (١) فقد كانت النتائج متطابقة إلى حد ما. يتم استخدام برنامج (x-pert) لاستخراج المقاييس ذات المعلمات (XRD).

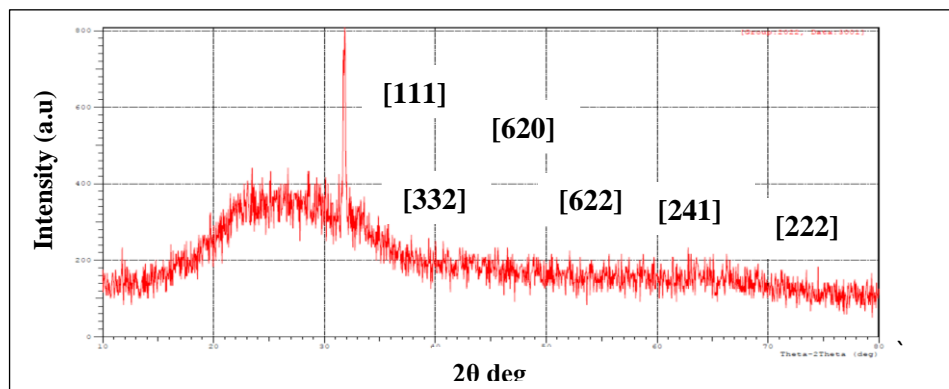
Table1: Result of the PVA polymer at 1%.

No	2θ	hkl	d(Å)	G.S (nm)	FWHM	I %	A	Sys.
1	32.944	111	2.716	33.7	0.254	99	a=3.778 b=10.365 c=4.221	orthorhombic
2	64.908	241	1.435	35.1	0.254	5.8		
3	69.123	222	1.357	61.4	0.165	2.1		
				Av.=43.4	Av.=0.231			

ويلاحظ من خلال الأشكال (٢) و(٣) و(٤) التي تمثل نتائج حيود الأشعة السينية لأغشية (PVA) وبنسب تركيز مختلفة (١,٢,٣)% مع ظهور النمو الذري في الاتجاهات البلورية السائدة والمميزة .



Fig(2): X-ray diffraction of PVA: thin film at 2%.



Fig(3): X-ray diffraction of PVA: thin film at 3%.

ويلاحظ أنه حدث تغير ملحوظ في شدة قمم الгиود لبعض المستويات بعد التشويب، فتناقصت شدة القمم عند الاتجاه (٢٤١)، (٢٢٢)، وازدادت شدة القمم عند الاتجاه (١١١). التركيب البلوري أي أن بعض المستويات مفضلة لنمو البلورات وأفضل مستوى لنمو البلورات هو (١١١)، وشدتها (٩٩٪).

Table2: Result of the PVA polymer at (1%).

No	2θ	hkl	d(Å)	G.S (nm)	FWHM	I %	a	Sys.
1	44.924	022	2.016	18.5	0.472	0.2	a=3.77 b=10.46 c=4.37	orthorhombic
2	72.192	080	1.307	14.8	0.672	0.4		
3	32.944	111	2.716	43.8	0.197	99		
4	64.9.8	241	1.435	35.1	0.276	5.8	a=3.778 b=10.365 c=4.221	orthorhombic
5	69.123	222	1.357	113.5	0.093	2.1		
				Av.=45.14	Av.=0.342			

Table3: Result of the PVA polymer at (2%).

No.	2θ	hkl	d(Å)	G.S (nm)	FWHM	I%	a	Sys.
1	40.964	440	48.7	48.7	0.128	6.5	a=b=c= 12.433	Cubic
2	32.944	111	2.716	43.8	0.197	98	a=3.778 b=10.365 c=4.221	Orthorhombic
3	64.908	241	1.436	35.1	0.276	5.8		
4	69.123	222	1.315	113.5	0.093	2.2		
				Av.=60.275	Av.=0.187			

Table4: Result of the PVA polymer at (3%).

No.	2θ	hkl	d(Å)	G.S (nm)	FWHM	I %	A	Sys.
1	46.107	620	1.967	59.5	0.135	0.1	a=b=c= 12.441	Cubic
2	48.498	622	1.875	9.3	0.945	0.3		
3	33.765	332	2.652	14.8	0.578	22		
4	32.944	111	2.726	43.8	0.197			
5	64.908	241	1.432	35.1	0.276			
6	69.123	222	1.354	113.5	0.093			
				Av.=46	Av.=0.370			

٤-٢-٤ الخواص البصرية

٤-٢-١ طيف الامتصاص

شكل (٥) يوضح طيف الامتصاص يظهر كدالة لتغير الطول الموجي للمدى من ٢٩٠ إلى ١١٠٠ نانومتر للأغشية الرقيقة PVA الندية والمطعمة بنسب تعليم مختلفة (١,٢,٣)% على الركائز الزجاجية، حيث لوحظ أن قيمة الامتصاصية تزداد مع زيادة نسب التشويب بسبب زيادة حجم الجسيمات، وكذلك بسبب انخفاض فجوة الطاقة الضوئية لتكون مستويات شوائب أكسيد الألومنيوم ضمن فجوة الطاقة.

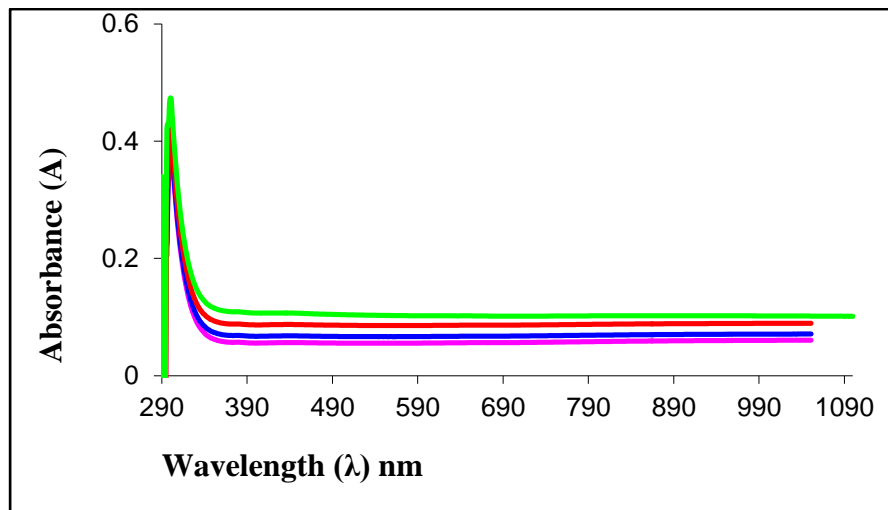


Fig 4: The effect of doping on absorbance spectrum

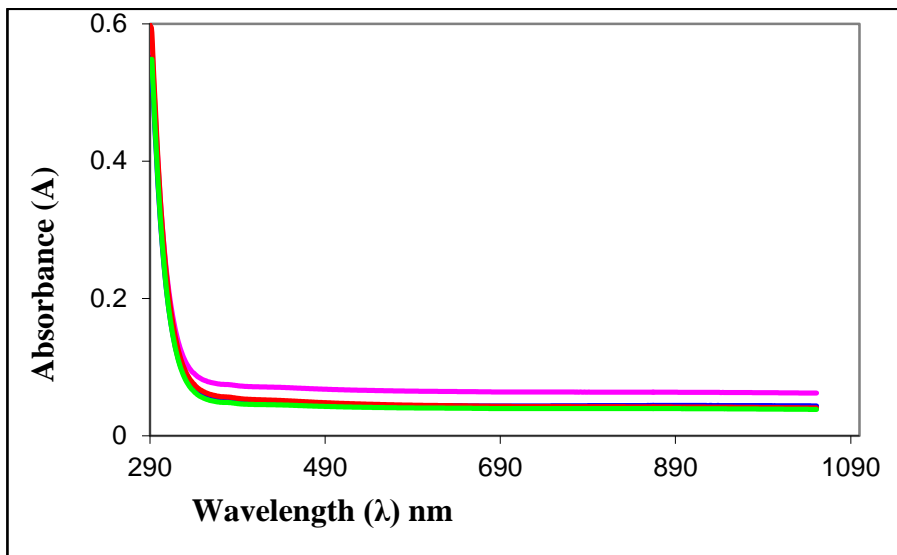


Fig 5: The Effect of 350°C on absorbance spectrum

Table (5) show the effect of doping on absorbance

Doping	Absorbance
1%	0.0706
2%	0.0860
3%	0.0970

Table (6) show the effect of annealing on absorbance

Annealing 350°C	Absorbance
1%	0.0537
2%	0.0479
3%	0.0464

٤-٢-٤ طيف النفاذية

شكل (٧) يشرح طيف النفاذية كدالة لتغير الطول الموجي للمدى من ٢٩٠ إلى ١١٠٠ نانومتر للأغشية الرقيقة (PVA) النقية ، حيث لوحظ أن النفاذية تتناقص مع زيادة نسبة التشويب وهذا يتفق مع المرجعين وأكبر نفاذية هي للفيلم النقى وأقل نفاذية هي نسبة التشويب (٣٪) وقد يعزى سبب ذلك إلى تكوين مستويات الشوائب ضمن فجوة الطاقة مما يؤدي إلى زيادة الانعكاسية وبالتالي انخفاض النفاذية حسب العلاقة التالية :

$$T = 10^{-A} \dots (1)$$

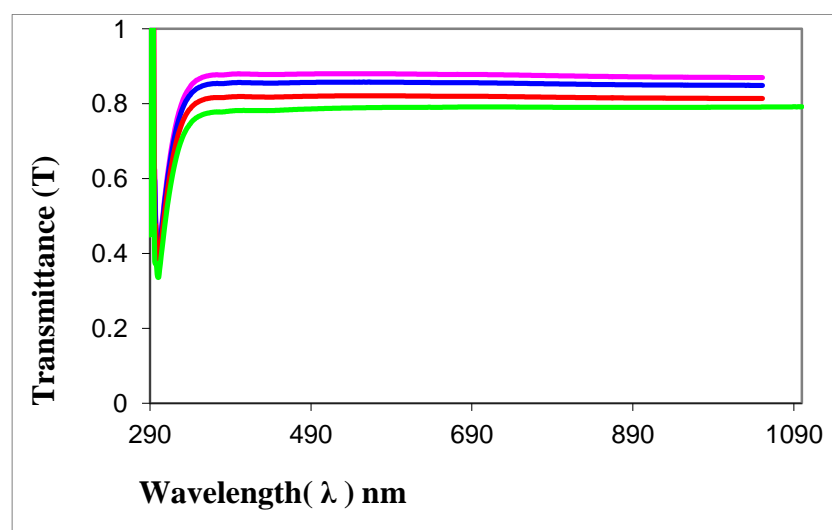


Fig 6: The effect of doping on transmittance spectrum

أظهرت النفاذية سلوكاً معاكساً للامتصاصية حيث أن النفاذية للأغشية المحضرة تتناقص مع زيادة التشويب. أما عند التلدين فإن نفاذية الأغشية النقية والمشوبة تزداد مع زيادة درجة الحرارة (التلبيين) وهذا يتفق مع ما يشير إليه لأن مسامية الغشاء تزداد مع هذه الزيادة.

٣-٢-٤ معامل الامتصاص

يوضح الشكل (٨) معامل الامتصاص كدالة للطول الموجي الساقط للأغشية المرسبة على ركائز زجاجية كدالة للطول الموجي، حيث يلاحظ أن معامل الامتصاص يزداد مع زيادة نسبة التشويب فيه وتزداد مع زيادة معدلات التلقيح لتكون مستويات الشوائب المضافة ضمن فجوة الطاقة.

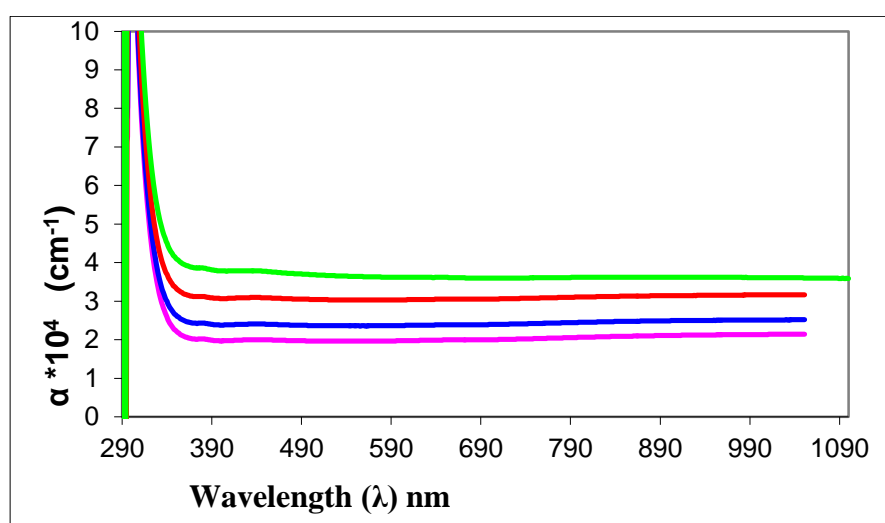


Fig 7: The effect of doping on absorption coefficient

٤-٢-٤ فجوة الطاقة المباشرة (Eg)

تعتبر فجوة الطاقة من أهم الثوابت في فiziاء أشباه الموصلات، حيث تعتمد قيمة هذا الثابت على استخدامات أشباه الموصلات في التطبيقات البصرية والإلكترونية المحسوبة من خلال المعادلة.

$$\alpha h\nu = \beta (h\nu - Eg^{opt})^r \dots\dots (2)$$

الشكل (٩) يوضح قيمة فجوة الطاقة للطبقة الرقيقة النقية (PVA) المطحونة بدرجات مختلفة (١,٢,٣) % ويعودي هذا الانخفاض في قيم فجوة الطاقة إلى تكوين مستويات شوائب داخل فجوة الطاقة، ويزداد عرض هذه المستويات مع زيادة نسب التلقيح، مما يؤدي إلى انخفاض عرض الفجوة.

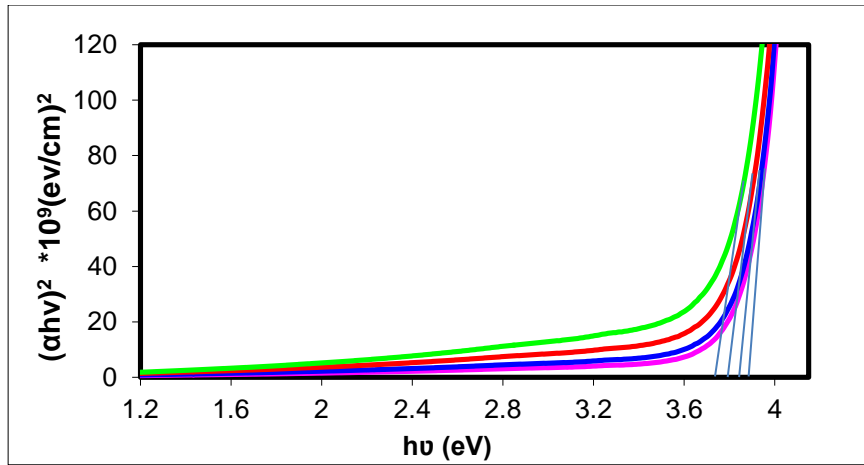


Fig 8: The effect of doping on the energy gap

Table (7) show the effect of doping on energy gap

Doping	Energy gap (eV)
1%	3.7
2%	3.6
3%	3.5

٤- الاستنتاجات

ومن خلال النتائج التي تم التوصل إليها في هذا البحث تم التوصل إلى ما يلي:

- ١) إمكانية تطعيم (PVA) باستخدام تقنية الرش الكيميائي الحراري، ووجدنا أن امتصاصية الأغشية تزداد بزيادة معدلات التشويب وتتحفظ مع التلدين، وكان الامتصاص الأفضل.
- ٢) نسبة التطعيم (%) وأفضل نفاذية عند نسبة التطعيم (%) ٣٥٠ درجة مئوية، ومع زيادة درجة الحرارة يتناقص معامل الامتصاص ويزداد مع زيادة التشويب، وكانت أعلى قيمة لمعامل الامتصاص بنسبة (%) ٣.
- ٣) تحتوي الأفلام النقية والمشوبة (PVA) على فجوة طاقة ضوئية للانتقالات المباشرة فقط، وقيمة فجوة الطاقة للفيلم النقي (PVA) هي (٣.٨ eV) وتتحفظ هذه القيمة عند زيادة نسب التطعيم، وتصل إلى (٣.٥ eV) عندما تكون نسبة التشويب (%) ٣ تزداد فجوة الطاقة مع التلدين لتصل إلى (٣.٧٩ eV) عند التلدين عند درجة حرارة ٣٥٠ درجة مئوية عندما تكون نسبة التشويب (%) ٣.
- ٤) يزداد متوسط حجم الجسيمات مع زيادة نسبة التشويب، ووصل إلى أكبر حجم جسيمي عند نسبة التشويب (%) ٣، حيث بلغ الحجم الجزيئي (٦ نانومتر)

References

- [1] S. H. Hadi , "Gamma Radiation Effect on Some Physical Properties of High and Low Viscosity Carboxymethyl Cellulose",M.Sc Thesis, College of Science, Babylon University,1998.
- [2] R. Reeves , A. Ribeiro , L. Lombardo, R. Boyer and J. B. Leach," Synthesis and Characterization of Carboxymethylcellulose- Methacrylate Hydrogel Cell Scaffolds", Polymers, Vol.2, PP.252-264 ,2010.
- [3] S. K. Saxena, "Polyvinyl Alcohol (PVA)", Chemical and Technical Assessment 6th JECFA , 2004.
- [4] F. W. Billmeyer, Textbook of polymer science 2nd Edition. John Wiley and Sons. Inc. New York, 1971.
- [5] C. M. Hassan and N. A. Peppas," Structure and Applications of poly Vinyl alcohol Hydrogels produced by conventional crosslinking or by Freezing \ Thawing Methods", Advanced in Polymer Science , Springer- Verlag Berlen Heideberg , Vol. 153, PP.38- 62 , 2000.
- [6] V. N. Reddy1, K.S. Rao , M.C Subha and K. C. Rae "Miscibility Behavior Of Dextrin/PVA Blends In Water at 35° C", International Conference on Advances in Polymer Technology, India, Feb. 26-27, PP.356-368 ,2010.
- [7] G. R. Fowles, "Introduction to Modern Optics", Holt Rinehart and Winston, Inc., 2nd Edition, PP. 70-160 , 1975.
- [8] الشربيني، حسن والخياط، بتول وحسون، صبحي كمال ، "البصريات الفيزيائية" ، كلية التربية، جامعة بغداد، ص: 36-63 ، 1982 .
- [9] N. M. Saeed and A.M. Suhail." Enhancement the Optical Properties of Zinc Sulfide Thin Films for Solar Cell Applications", Iraqi Journal of Science , Vol.53, No.1, PP. 2012.

- [10] J. H. Nahida , " Spectrophotometric Analysis for the UV-Irradiated (PMMA)", International Journal of Basic & Applied Sciences IJBAS-IJENS, Vol. 12, No, 2 ,PP.58-67,2012.
- [11] Sh. Hadi , A. Jewad and A. Hashim " Optical properties of (PVA-LiF) Composites , Australian Journal of Basic and Applied Sciences, Vol.9 ,No. 5 , PP. 2192-2195 , 2011
- [12] J. H. Ibrahim , " Effect of Gamma Radiation on Physical Properties of Styrene Butadiene Rubber", Journal of Babylon University,Vol.17, No.1, 2009.
- [13] 13. S. H. Abd Al- Amiree , " Effect of Gamma Ray and Temperature on Some Physical Properties of Poly Styrene- Butadien (SBR)", M.Sc. Thesis , College of Science , Babylon University ,2003.
- [14] N.A .EL- Shistawi , M.A.Hamada and E.A.Gomaa , "Opto Mechanical Properties of FeCL₃ in Absence and Presence of PVA and 50% (V\|V) Ethanol- Water Mixtures, Chemistry, Vol.18,No.5, PP.146-151, 2009.
- [15] S.H. Al-Nesrawy and A.K.J. AL- Bermany " Journal of Babylon University ", Vol.7 , No.3 ,2002.
- [16] M. S. Iovu , A. M. Andriesh , S. A. Buzurniuc and V. I. Verlaine, "Optical Properties of As₂S₃:Pr AND As₂Se₃:DyAmorphous Composites" Digest Journal of Nanomaterial's and Bio structures Vol. 2, No. 2, PP. 201 – 206,2007.
- [17] R. J. Sengwa , S. SanKhla and S. Sharma" Refractmetric Study of Polymers and their Blends in Solution", Indian Journal of Chemistry,Vol.46 ,PP. 1419- 1422,2007.
- [18] R.H.Abbas , " Study of Gamma Radiation in Physical Properties of Polymer (PAAm) ", M.Sc. Thesis, College of Science , Al- Mustansiryah University,2006.

- [19] M. C. RAO and M. S. Shekhawat "A Brief Survey on Basic Properties of Thin Films for Device Application", *Journal of Modern Physics*, vol. 22, pp. 576–582, 2013.
- [20] V. Nagarajan, C. S. Ganpule, A. Roytburd, and R. Ramesh, "Nanoscale phenomena in ferroelectric thin films", *Journal of Nanostructure*, vol. 42, pp.534-351, 2002.
- [21] S. A. ALShiaa, " Investigation of structural, electrical and optical properties of nickel oxide thin films doped by Ge, Zn and Sn by PVD methods", Ph.D. dissertation, Razi Univ., Tehran, Iran, 2016.
- [22] H. Bach and D. Krause, "Thin Films on Glass", Springer, Germany, 2003.
- [23] R.W. Berry, P.M. Hall & T. Harris "Thin Film Technology " New York, (1979).
- [24] H. B. Wang, G. Y. Meng and D. K. Peng, "Thin Solid Films", *Chemical Vapor Deposition* 368, 275, 2000.
- [25] C. Bellecii, A. Bonanno, M. Camarca, M. Conti, La Rotondo, G. Piccini, R . Visentin, IL *Journal of Nuovo Cimento*, vol. 5c, No. 3, 1982.
- [26] M. Cao, X. Zhang, J. Ren, Y. Sun, Y. Cuia, J. Zhang and Jun Ling, "Chemical bath deposition of SnS:Cu/ZnS for solar hydrogen production and solar cells", *Journal of Alloys Compd*, vol. 863, p. 158727, 2021.
- [27] G. Blandenet, M. Court, and Y. Lagarde, "Thin layers deposited by the Pyrosol Process, Thin Solid Films", *Journal of Nanostructure*, vol. 77, no. 1–3, pp. 81–90, 1981.
- [28] Grimsrud, Tom K; Andersen, "Evidence of carcinogenicity in humans of water-soluble nickel salts", *Journal of Occupational Medicine and Toxicology Aage*, Vol. 46, no. 2–3, PP. 7–15, 2010.

- [29] C. Barry Carter, M. Grant Norton, Ceramic Materials: Science and Engineering, Springer, 2007.
- [30] Karen Davis, "Material Review: Alumina , *European Union Journal*, Vol. 2, no. 1–2, PP. 109–114, 2010.
- [31] M. A. Aswad, "Residual Stress and Fracture in High Temperature Ceramics," Ph. D. dissertation, The Univ., of Manchester, Britain, 2012.
- [32] Karen Davis, "Substrate Temperature Effect on Some Physical Properties of NiCl_2 Thin Films Prepared by Chemical Spray Pyrolysis", *European Union Journal*, Vol. 4, no. 6–7, PP. 119–122, 2010.
- [33] [15] M. F. Minoru, "Structural Properties and Surface Characteristics on Aluminum Oxide Powders Ceramics", Ph. D. dissertation, The Univ., of Damascus, Syria, 2009.
- [34] R. Anand, "Preparation of Dense Alumina Ceramic By Slip Casting Method", M.S. thesis, Univ. of Rourkela, India, 2014.
- [35] D. W. Richerson, Ed., Modern Ceramic Engineering: Properties, Processing and Use in Design New York: McGraw-Hill, 1996.
- [36] Subhajit Biswas, Soumitra Kar, and Subhadra Chaudhuri, " Optical and Structural Properties of SnO_2 Films Fluorinated", *Journal of Physics*, Vol. 109, no. 3-4, PP. 170-175, 2005.
- [37] Z. M. J. Zwaid, " Preparation and Characterization of $(\text{NiO}:\text{Cu}/\text{Si})$ Solar Cell by Aerosol Assisted Chemical Vapor Deposition," M.S. thesis , Univ of Babylon, Babil, Iraq, 2021.
- [38] V.Gayou , B. Salazar-Hernandez , M. Constantino, E. Rosendo Andre, T. Diaz ,R. Delgado Macuil , M. Rojas Lopez", *Journal of Vacuum* ", Vol. 84 , pp.1191–1194, 2010 .

- [39] R. K. Jasim, " Substrate Temperature Effect on Some Physical Properties of SnS Thin Films Prepared by Chemical Spray Pyrolysis," M.S. thesis , Univ. of Babylon, Babil, Iraq, 2022.
- [40] A. Goudarzi, G. Motedayen Aval, S. Soo Park, M. Choi, R. Sahraei, M. Ullah, A. Avane, and H. Chang Sik, " Synthesis and Photoluminescence of Nanocrystalline ZnS:Mn²⁺", *Journal of Chem. Mater*, Vol. 21, No. 12, pp.2375–2385, 2009.
- [41] T. Sall, B. M. Soucase, M. Mollar, and J. A. Sans, " SnS Thin Films Prepared by Chemical Spray Pyrolysis at Different Substrate Temperatures for Photovoltaic Applications," *J. Electron. Mater.*, vol. 46, no. 3, pp. 1714–1719, 2017.